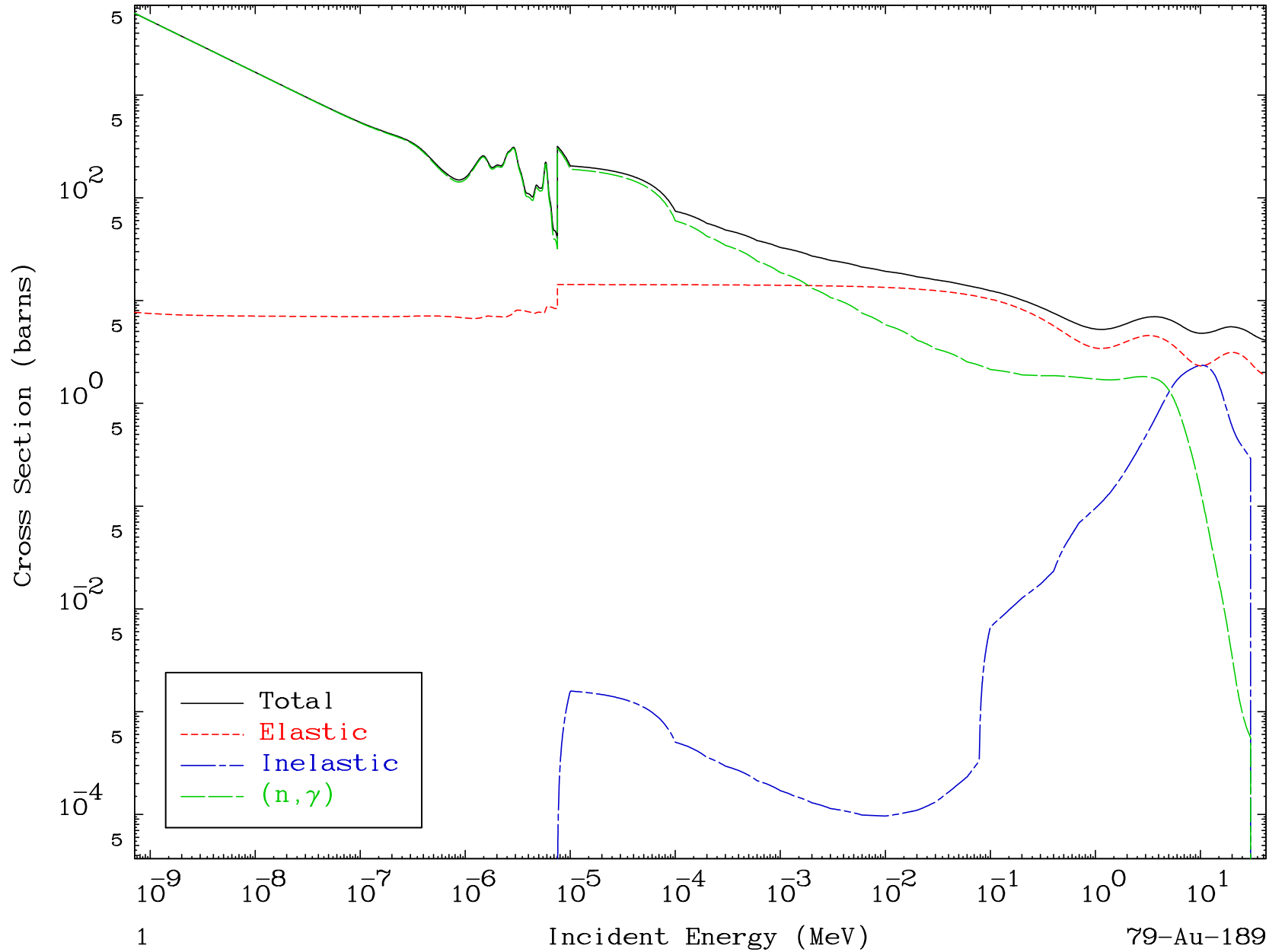
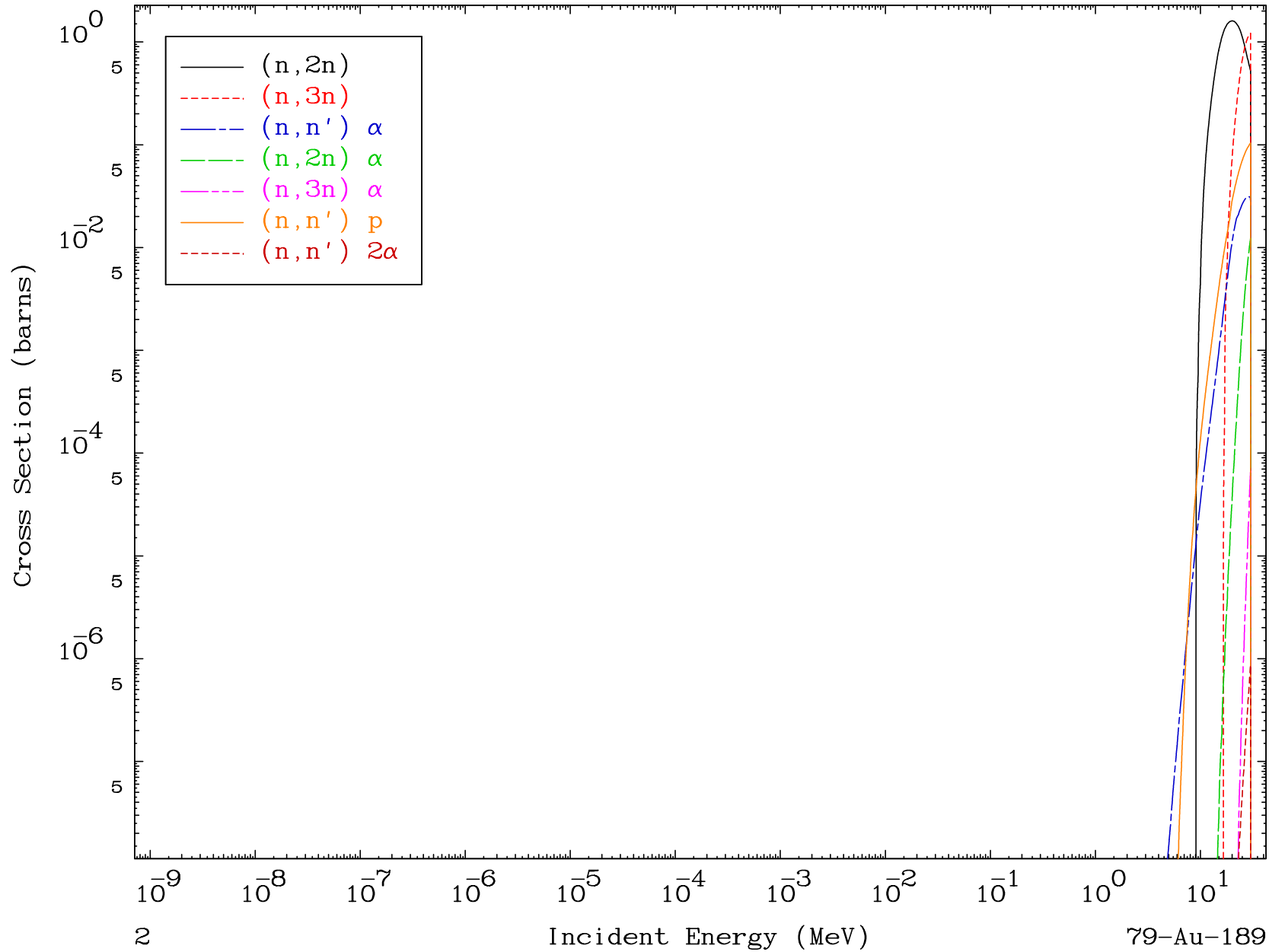


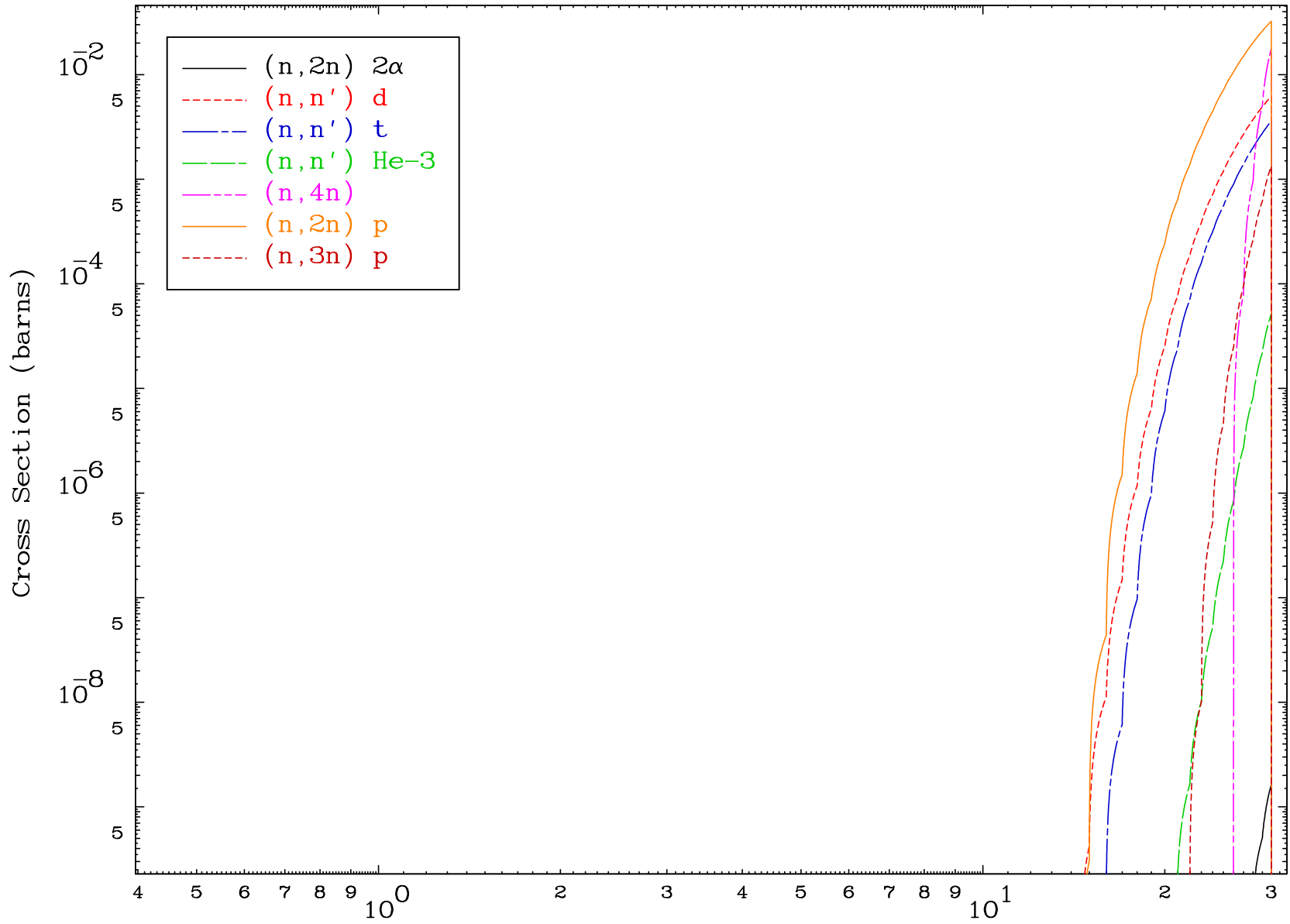
MAT 7902

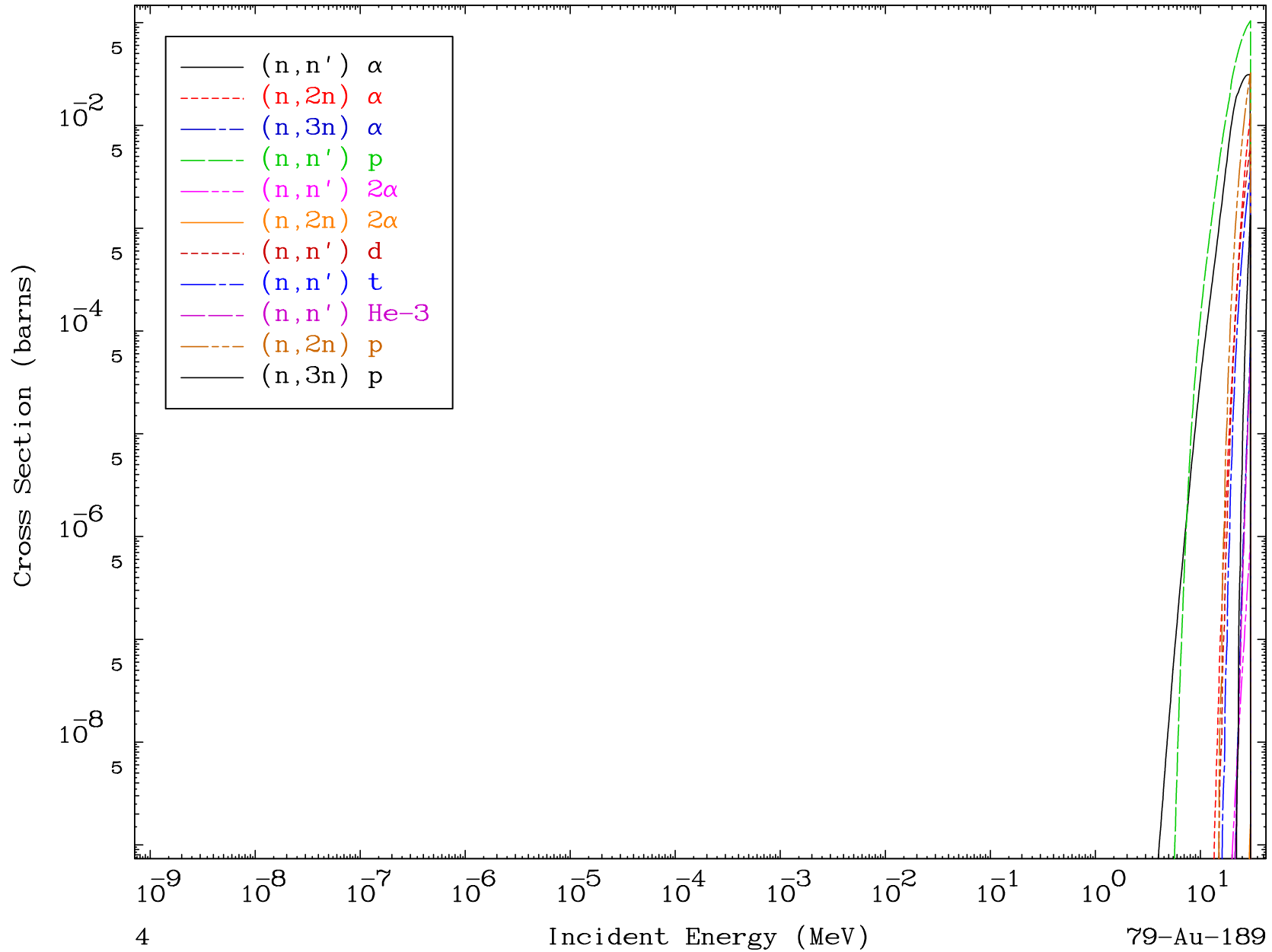
Major  
294 Kelvin Cross Sections

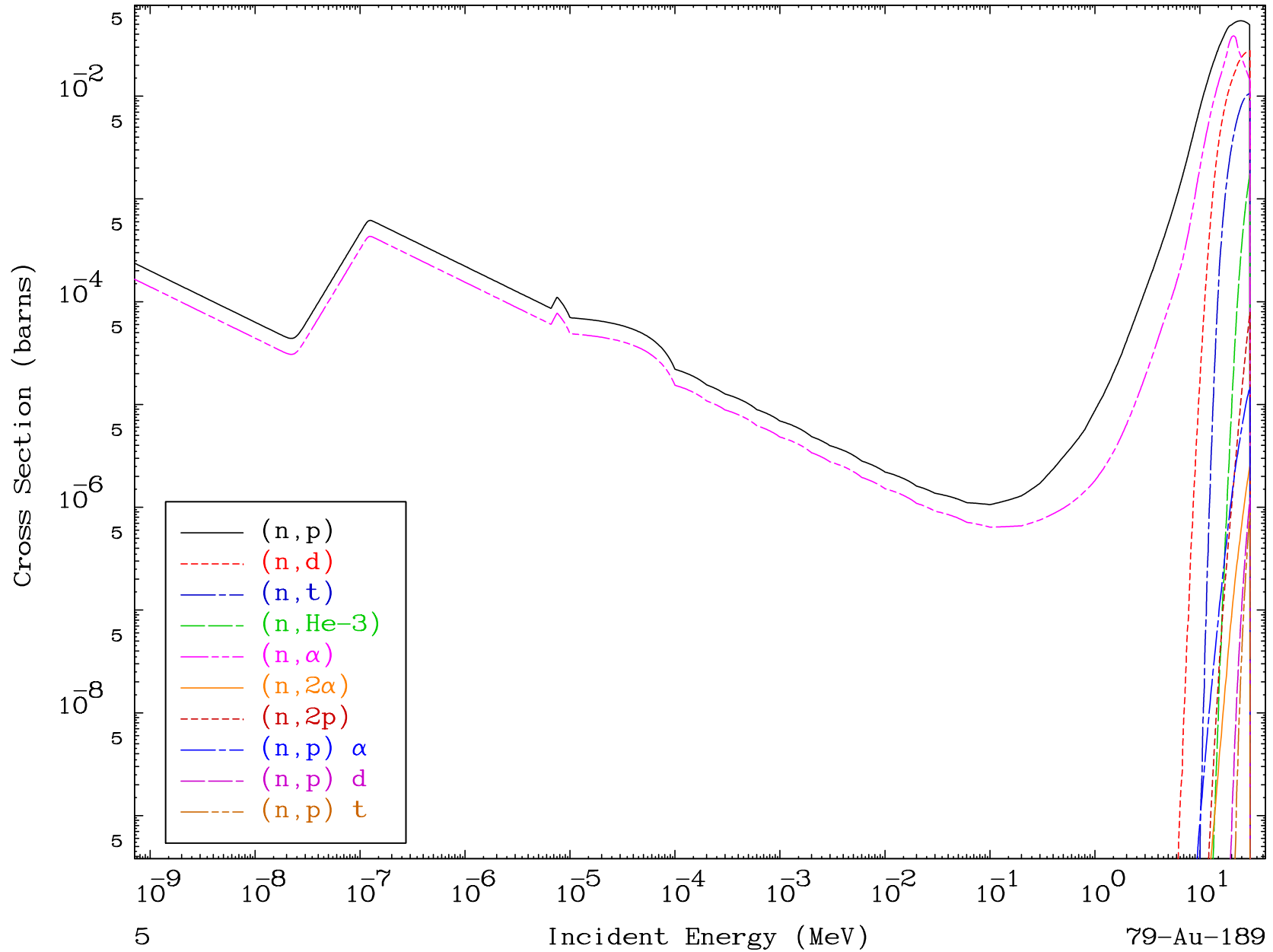
79-Au-189

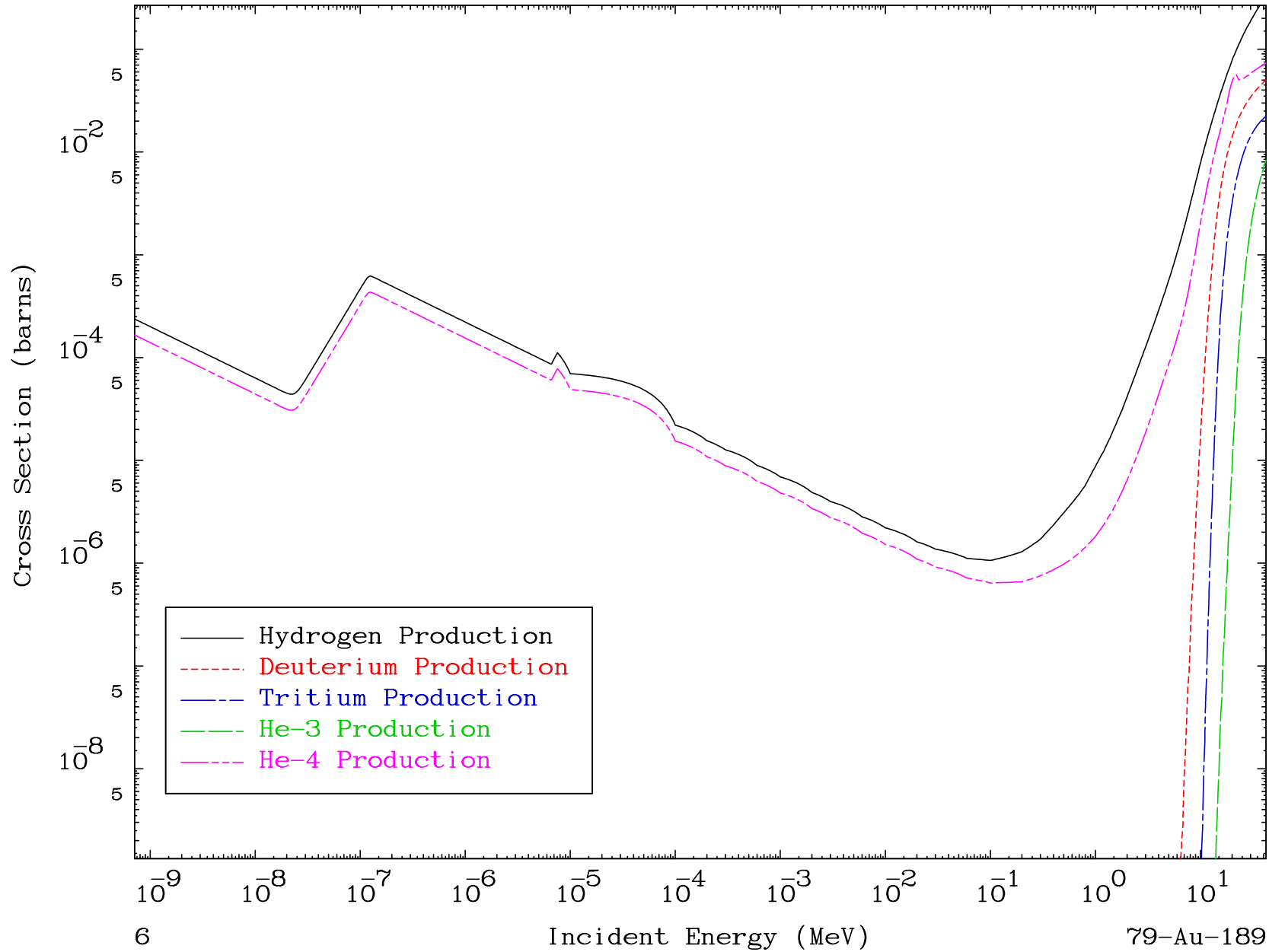


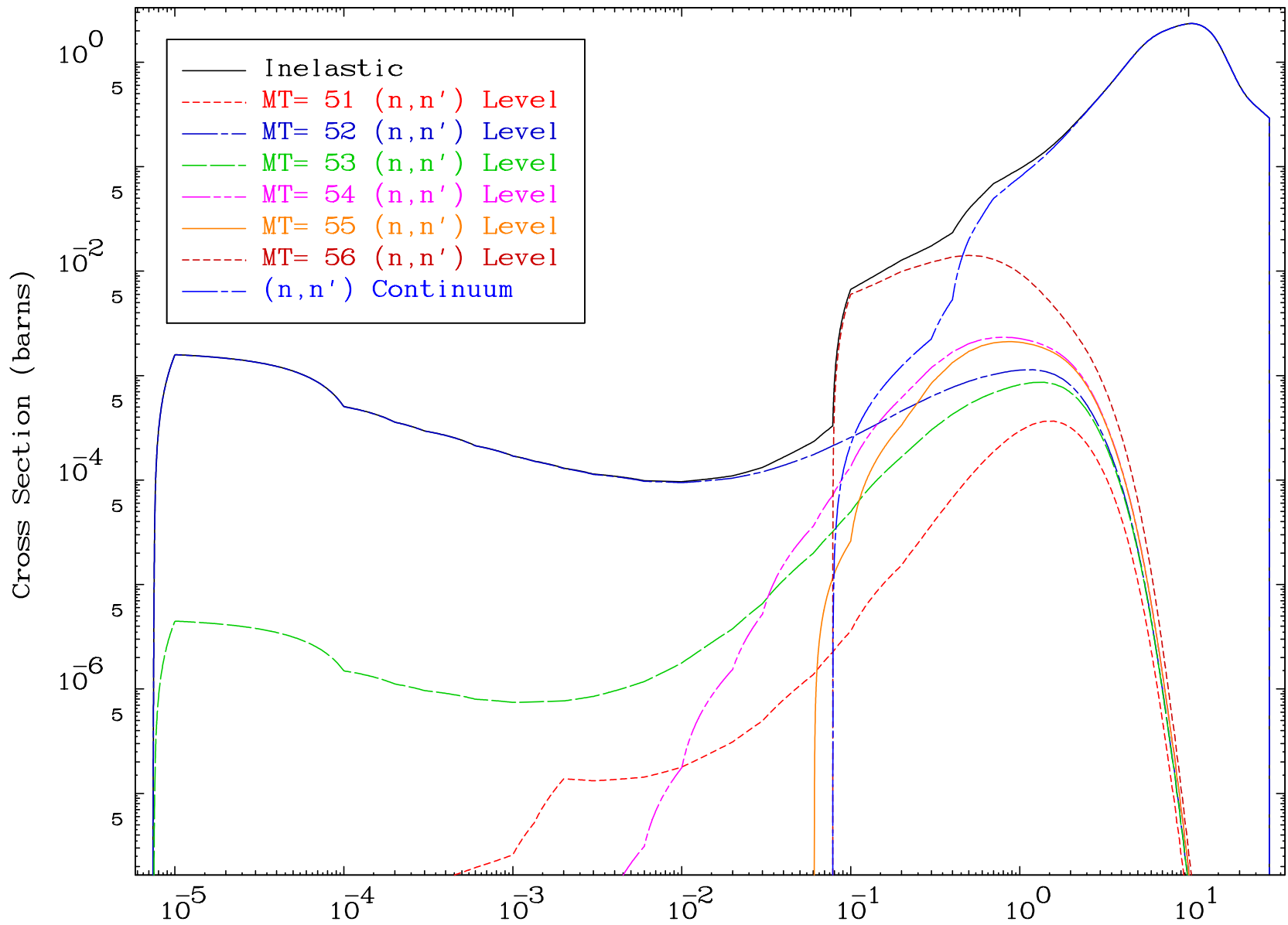


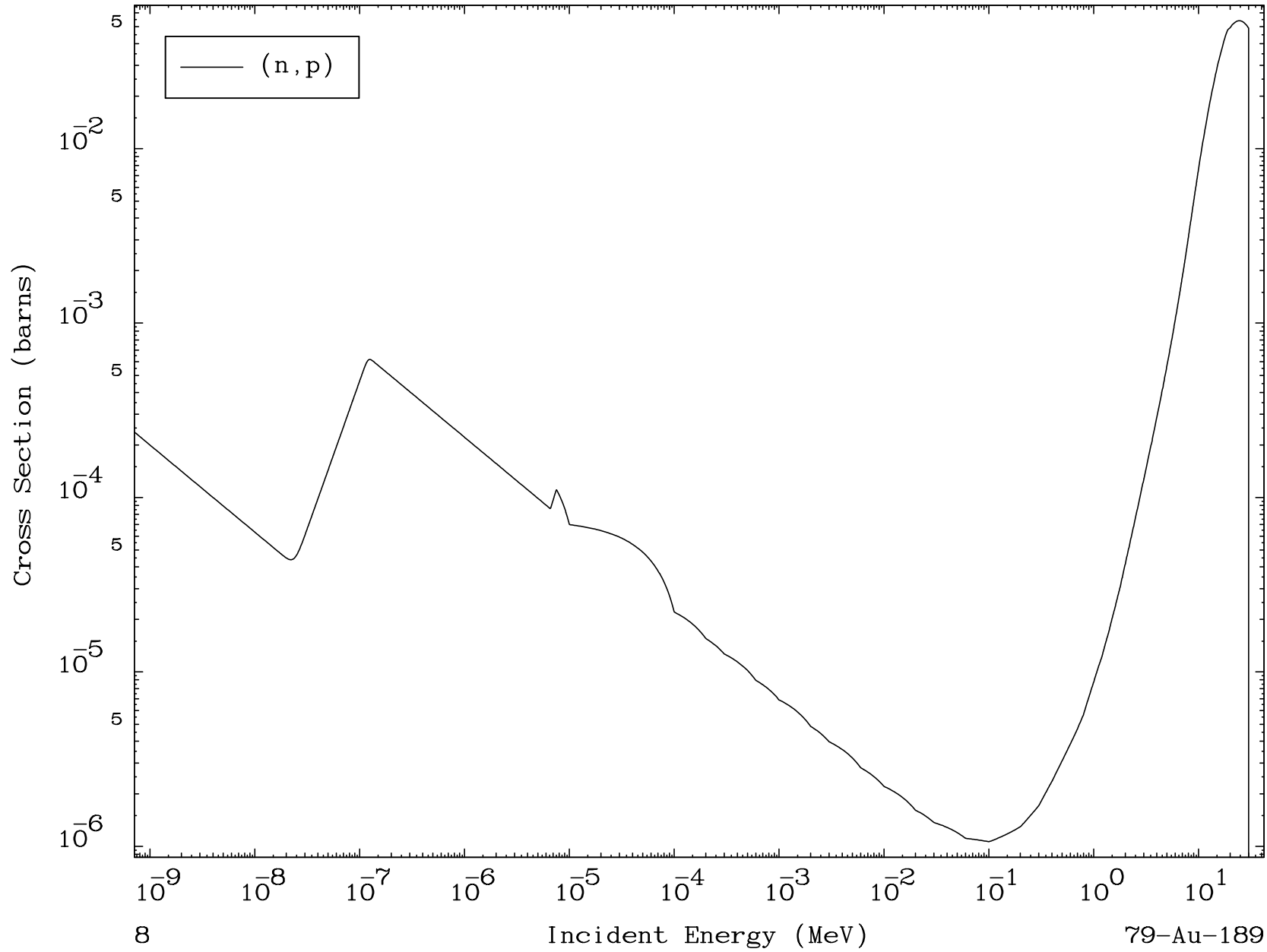




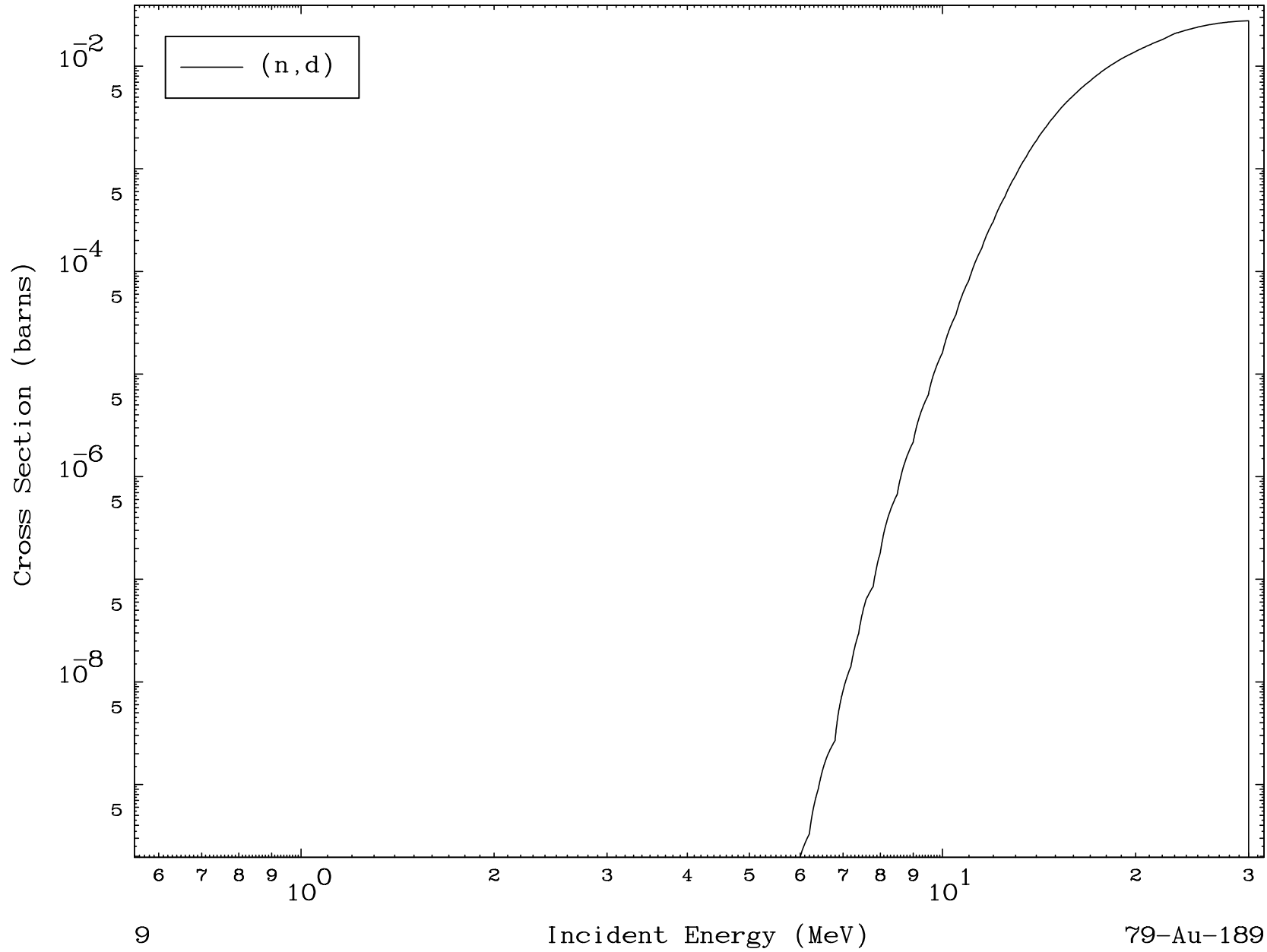








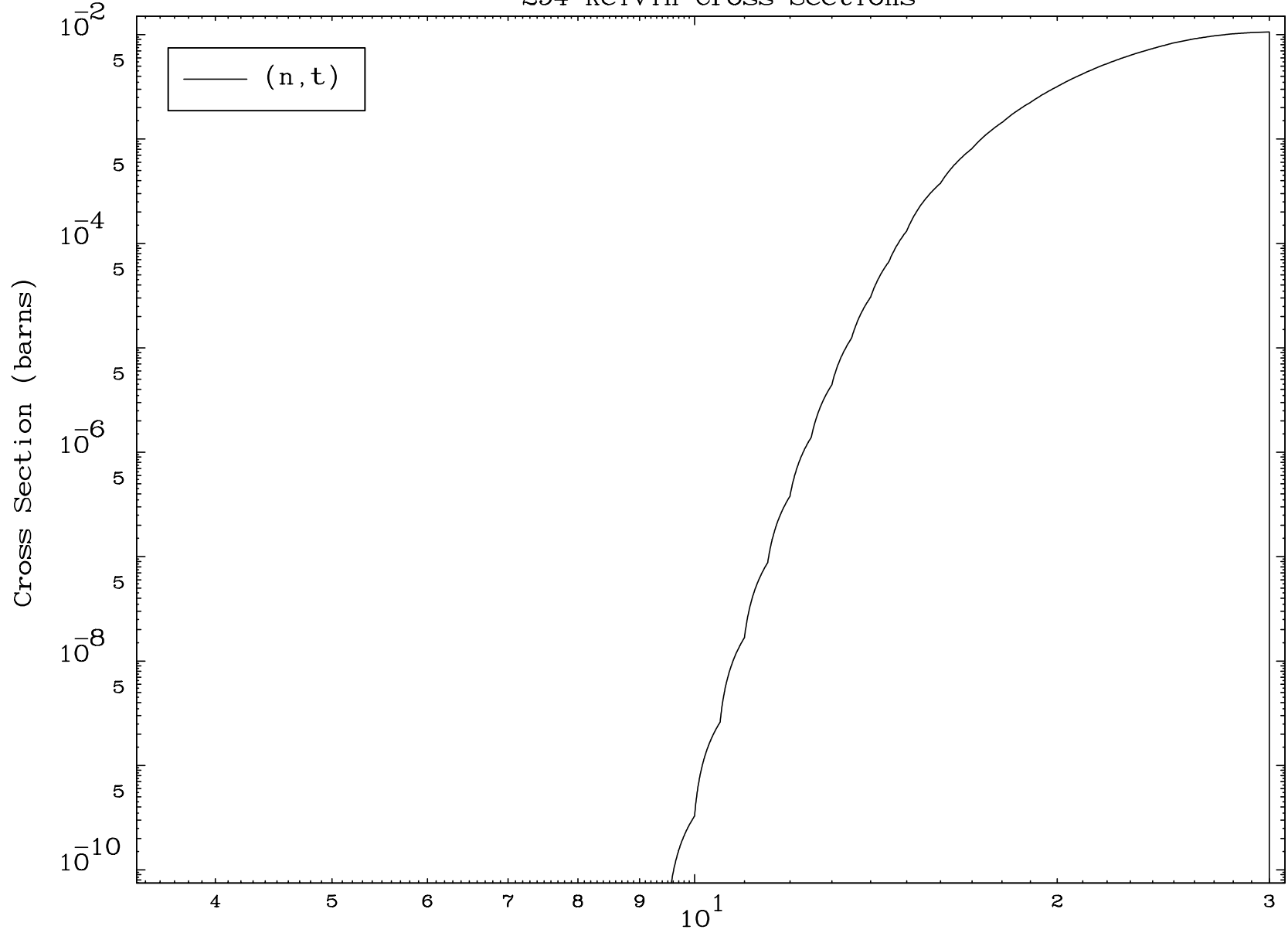




MAT 7902

(n,t) Levels  
294 Kelvin Cross Sections

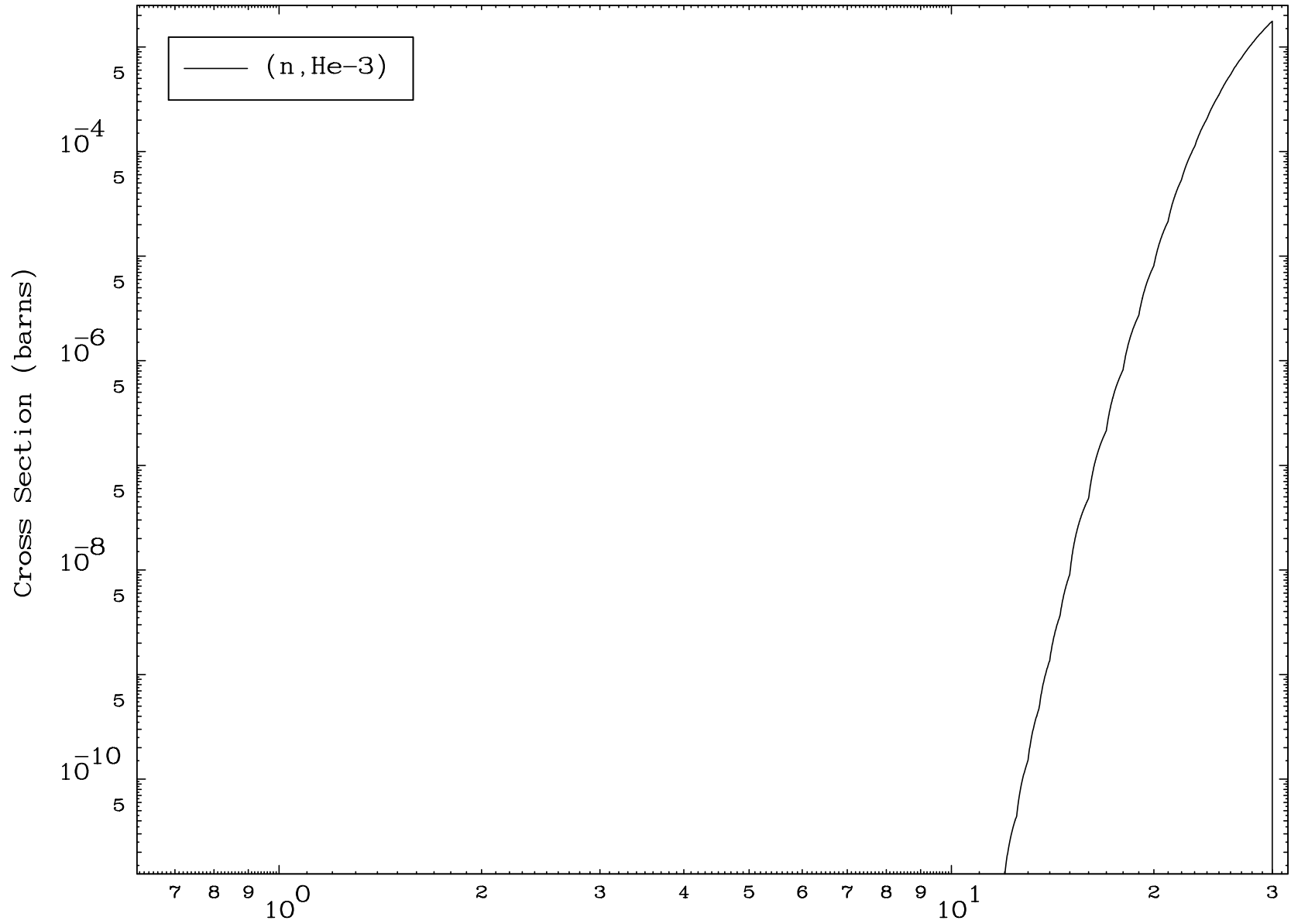
79-Au-189

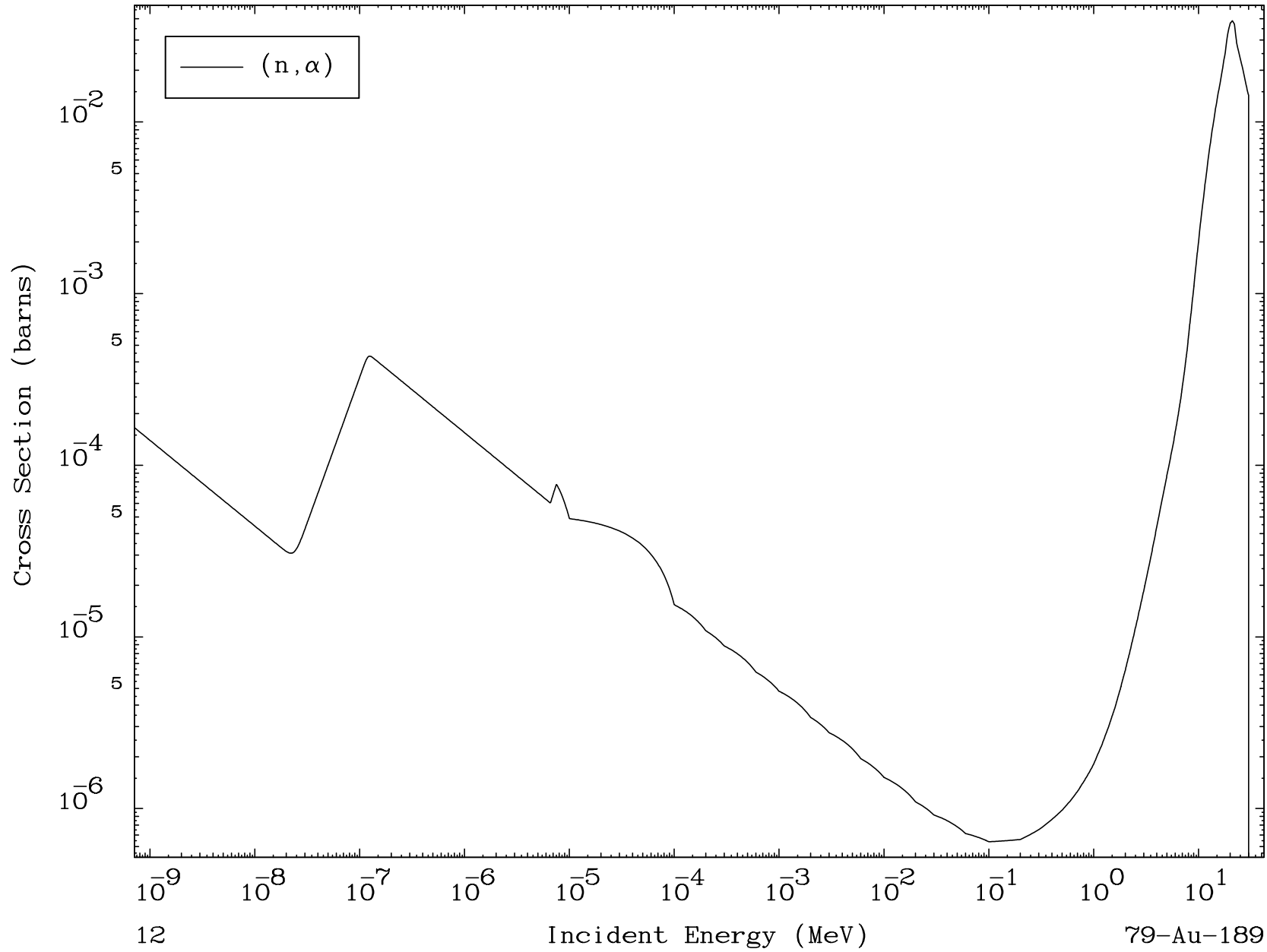


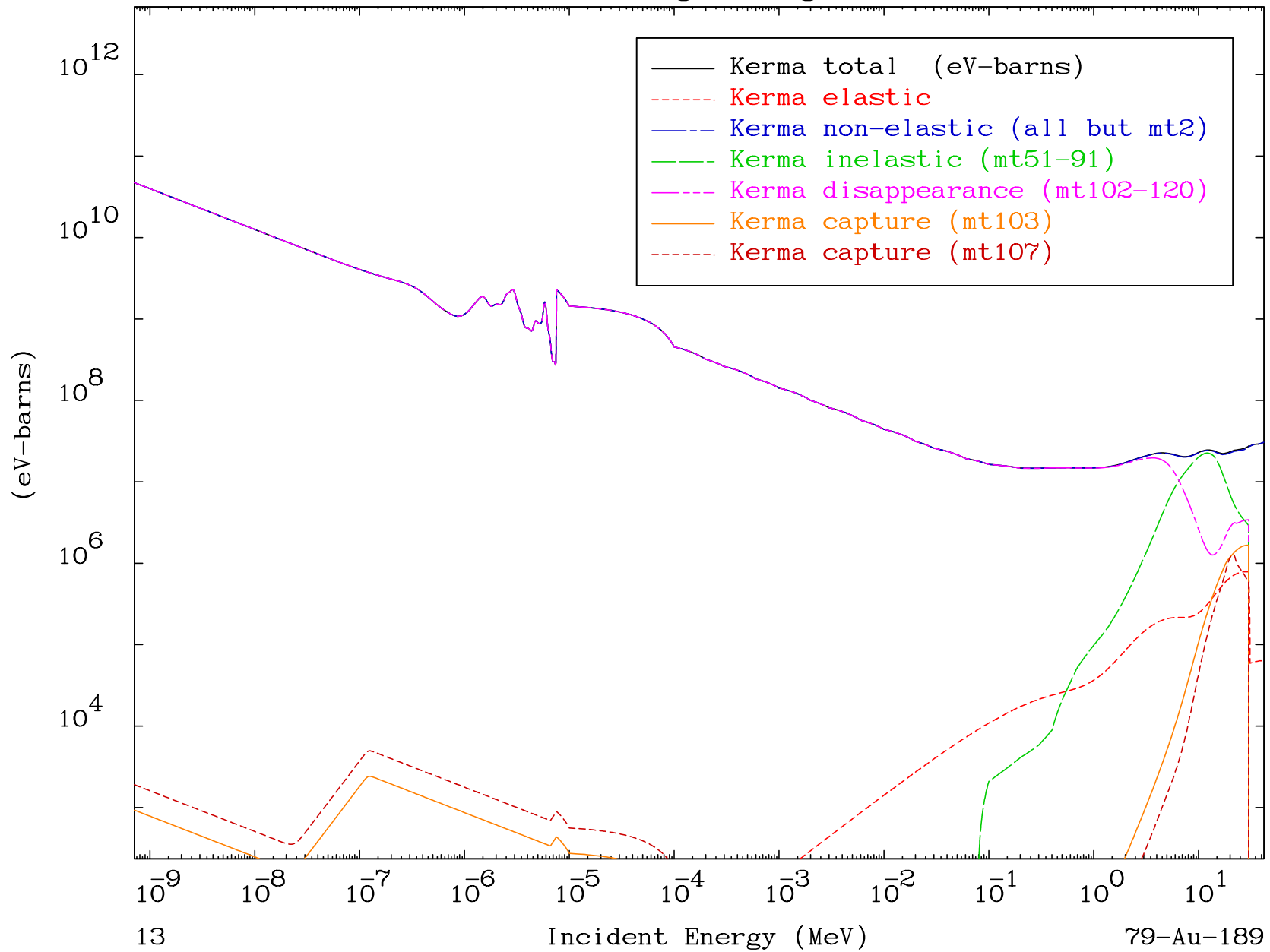
10

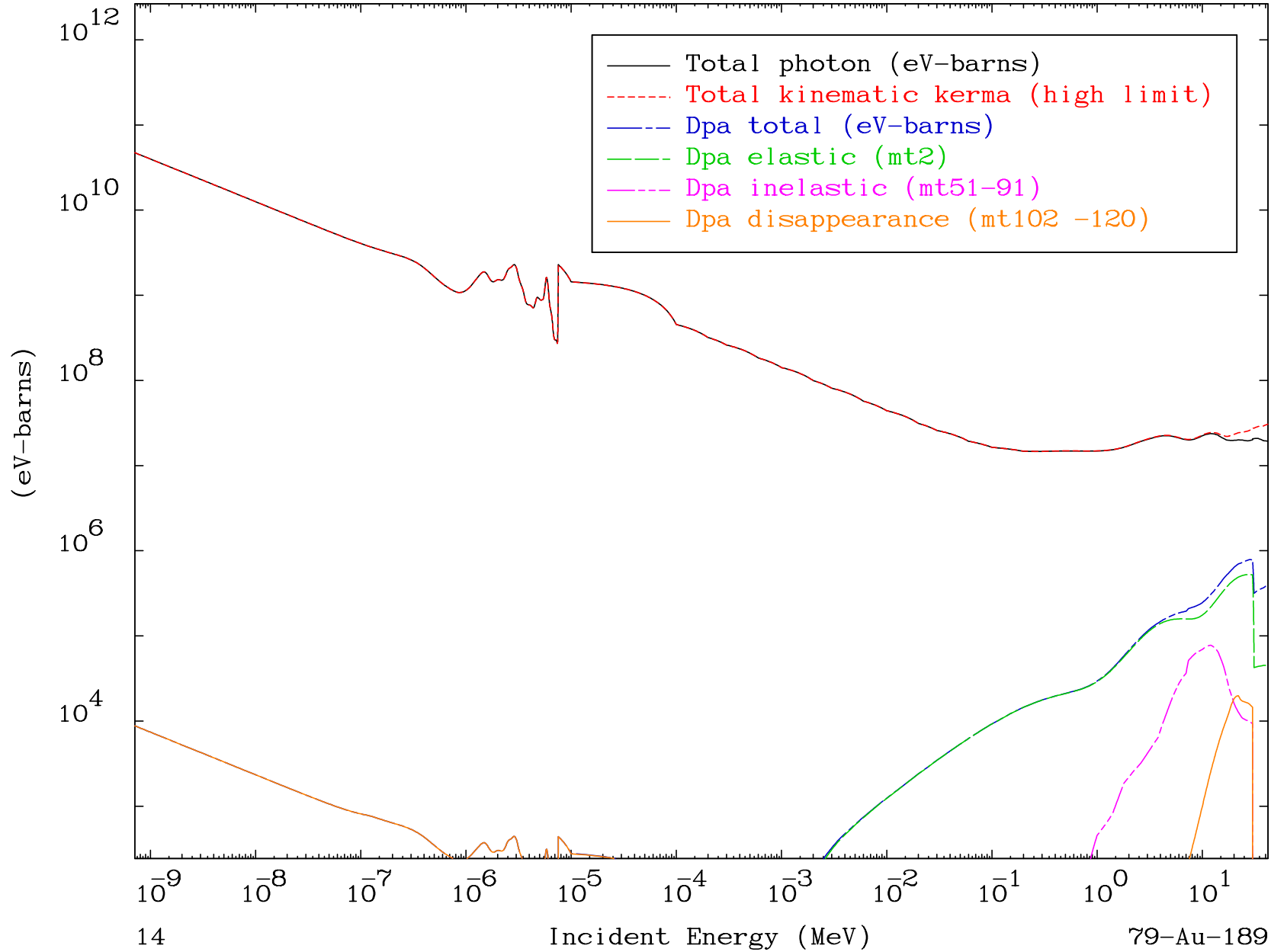
Incident Energy (MeV)

79-Au-189





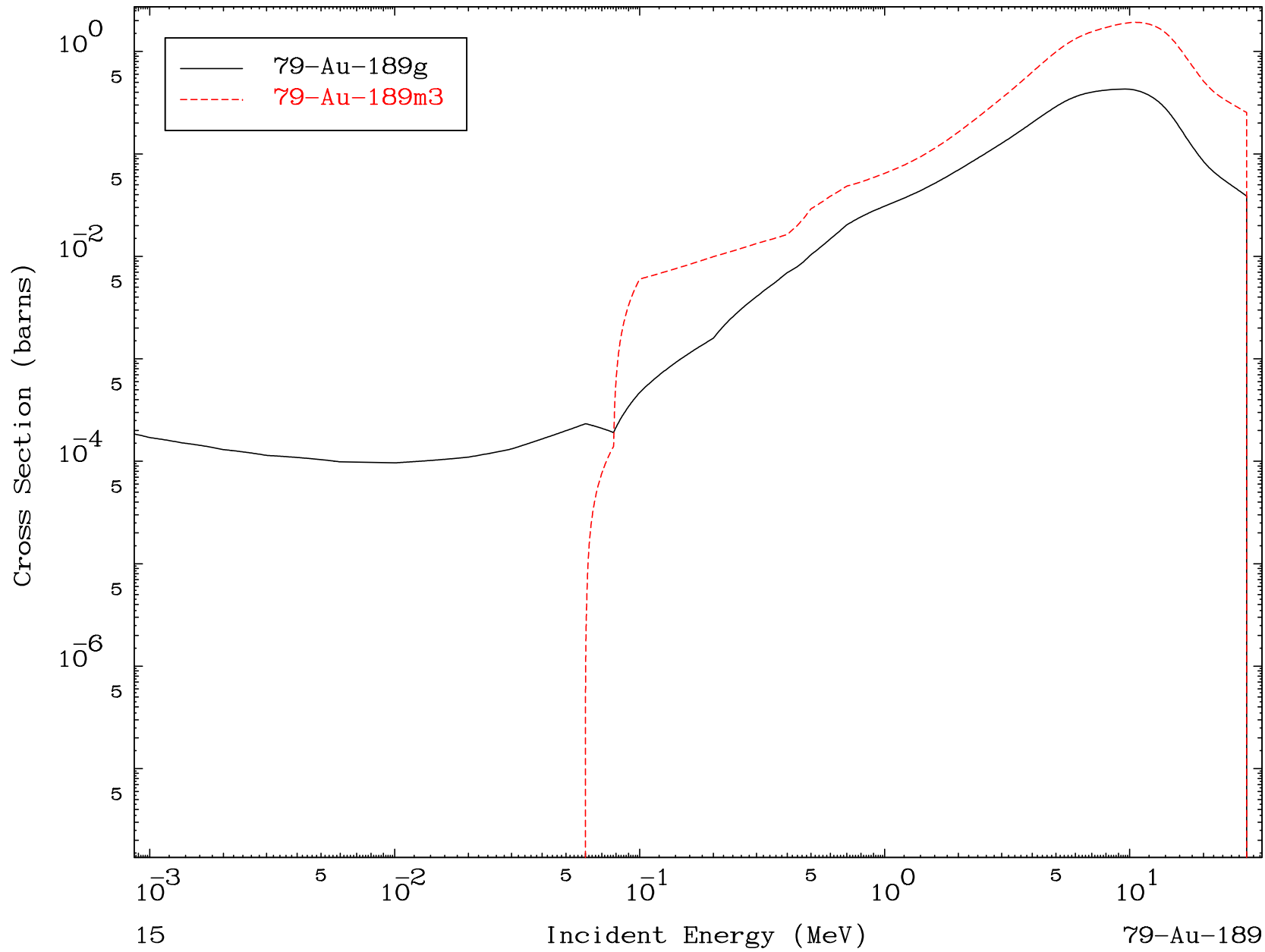




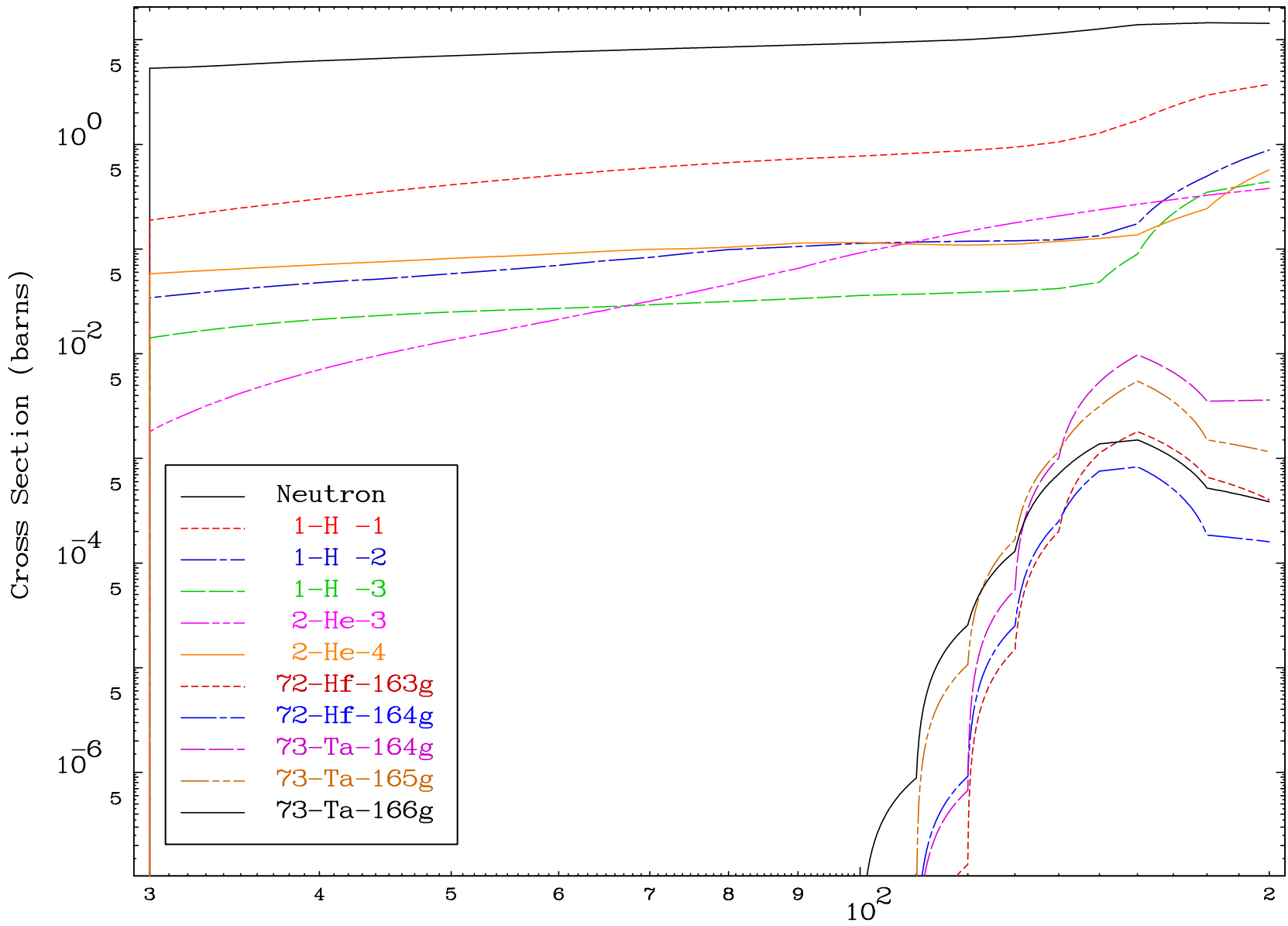
MAT 7902

Inelastic  
Radionuclide Production Cross Section

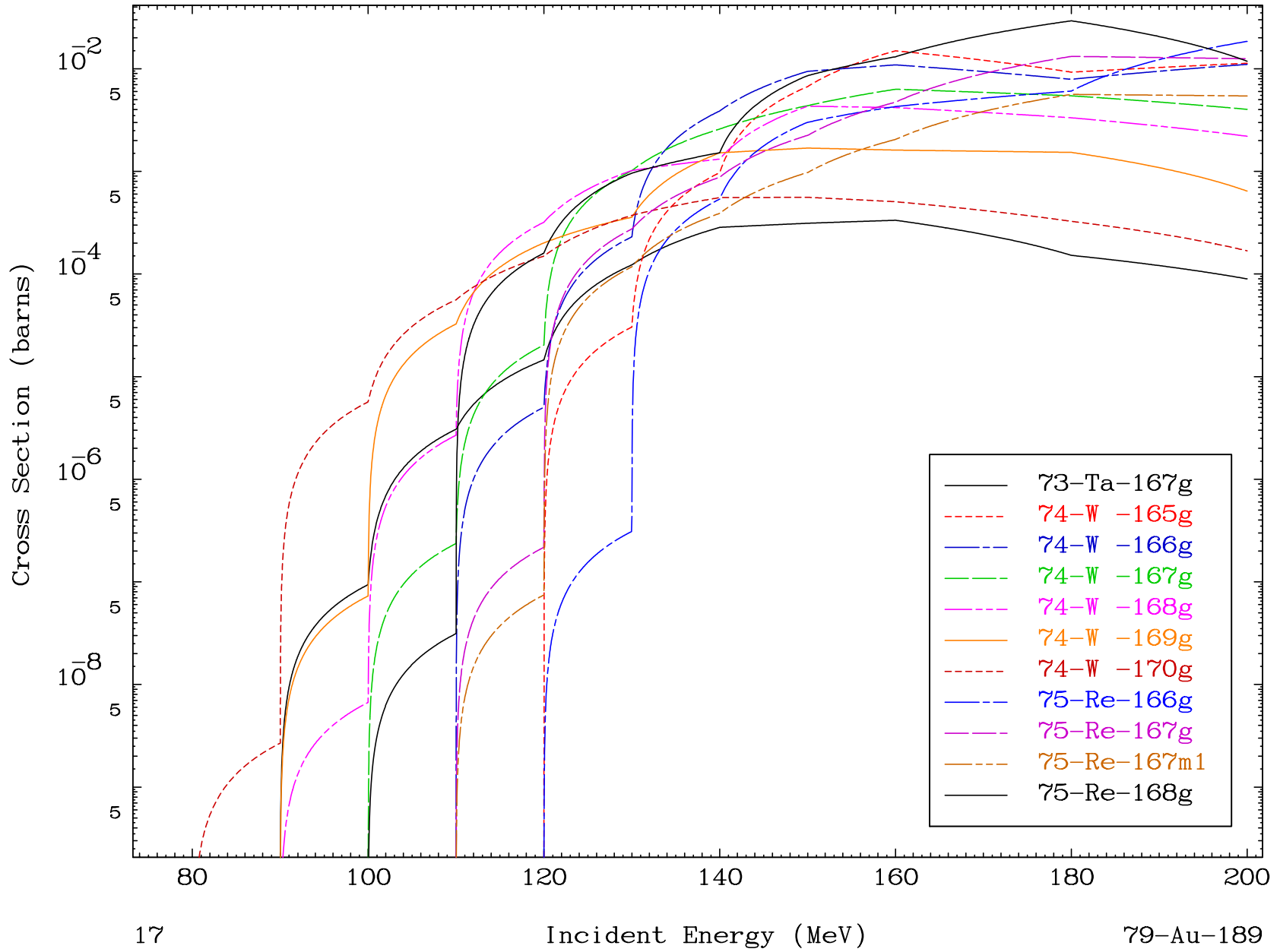
79-Au-189

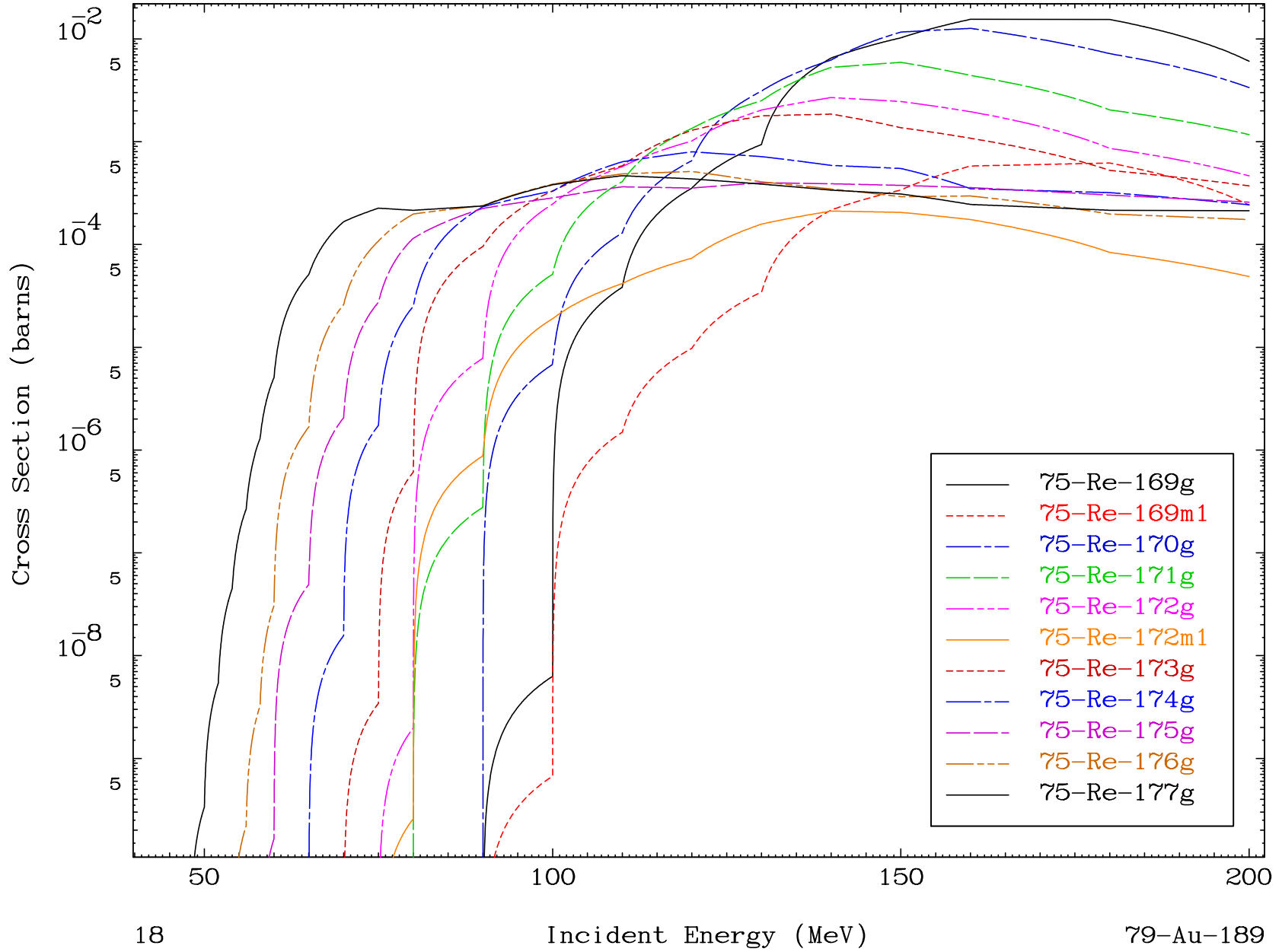


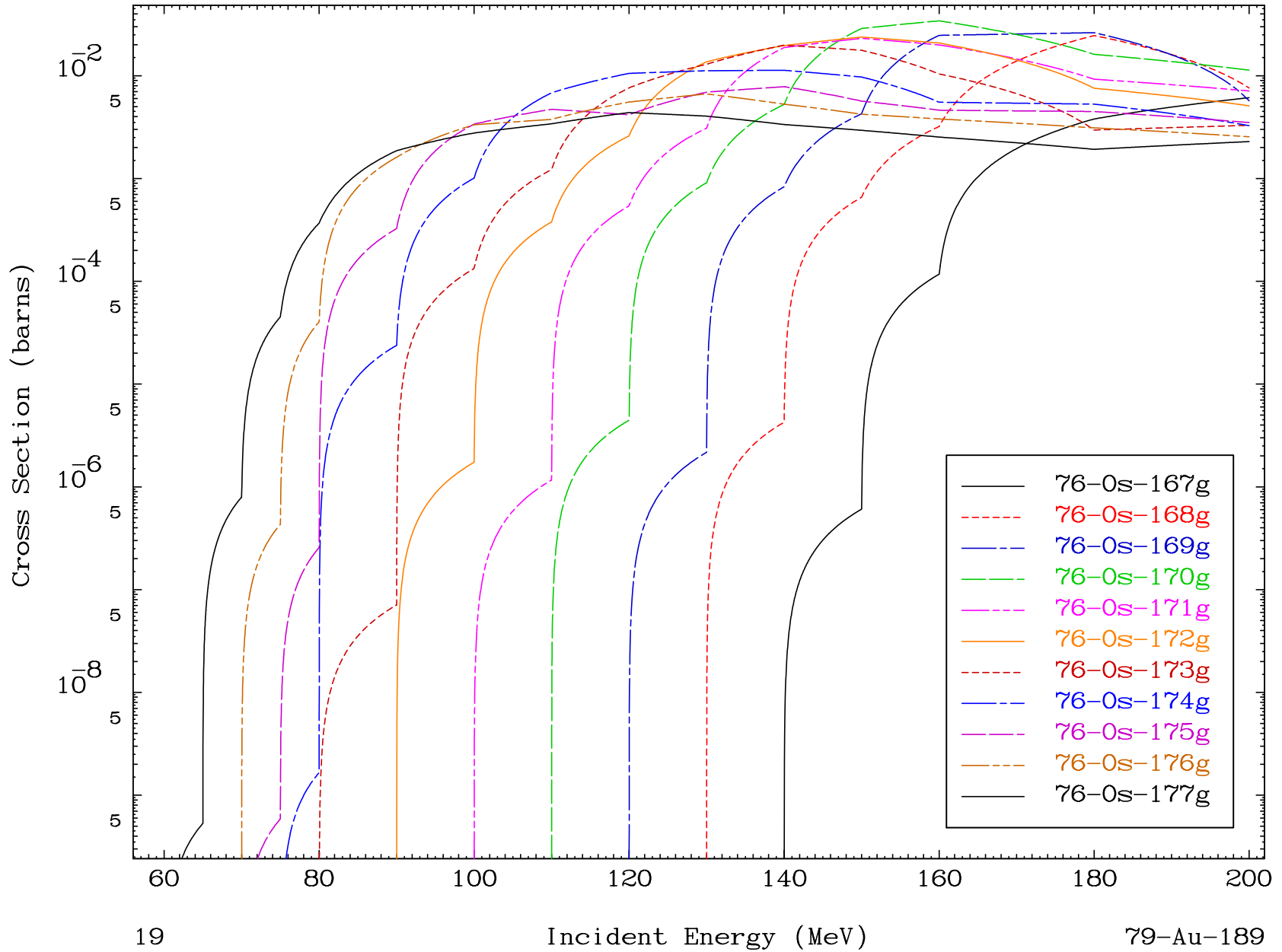
Radionuclide Production Cross Section

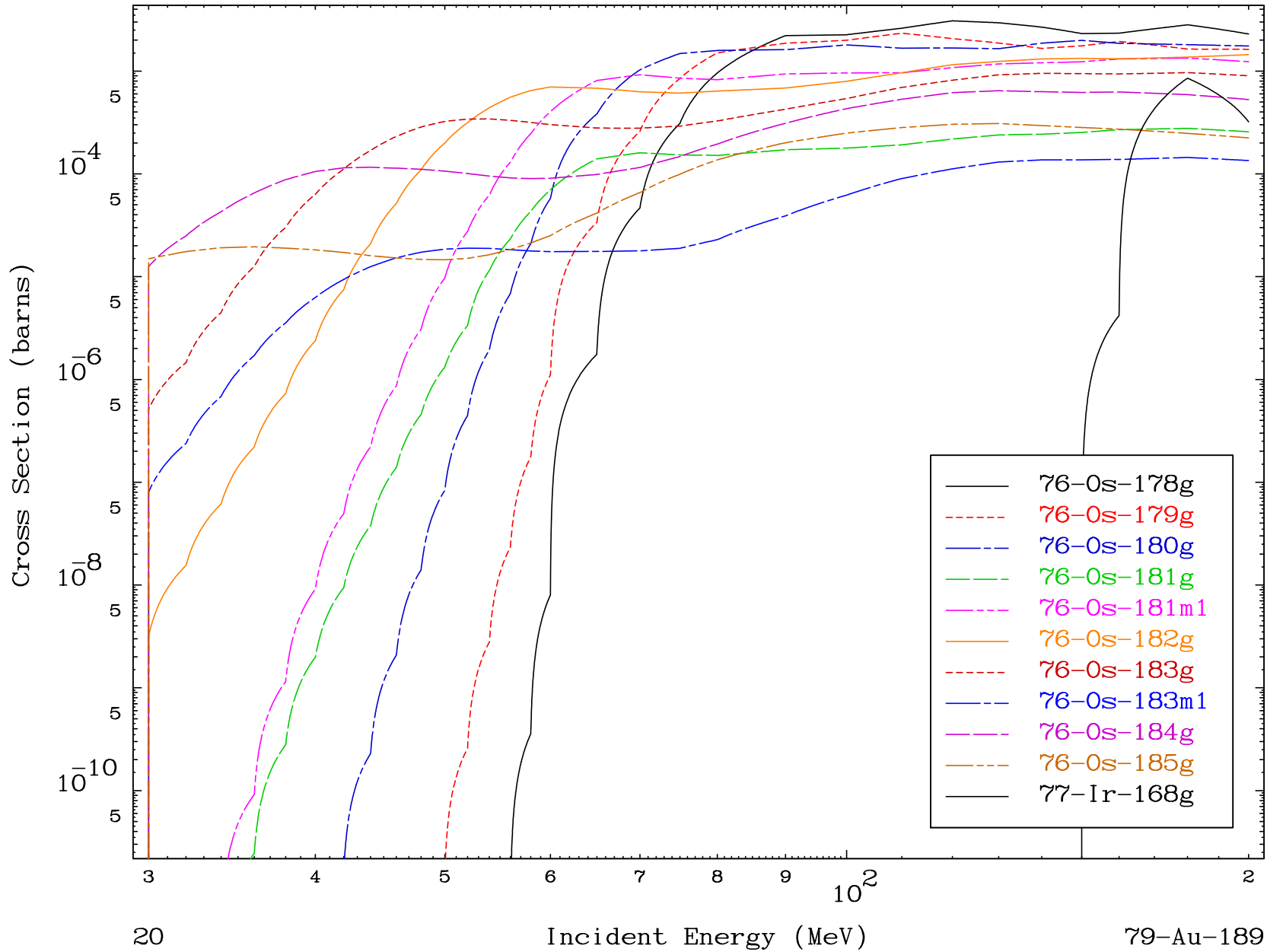










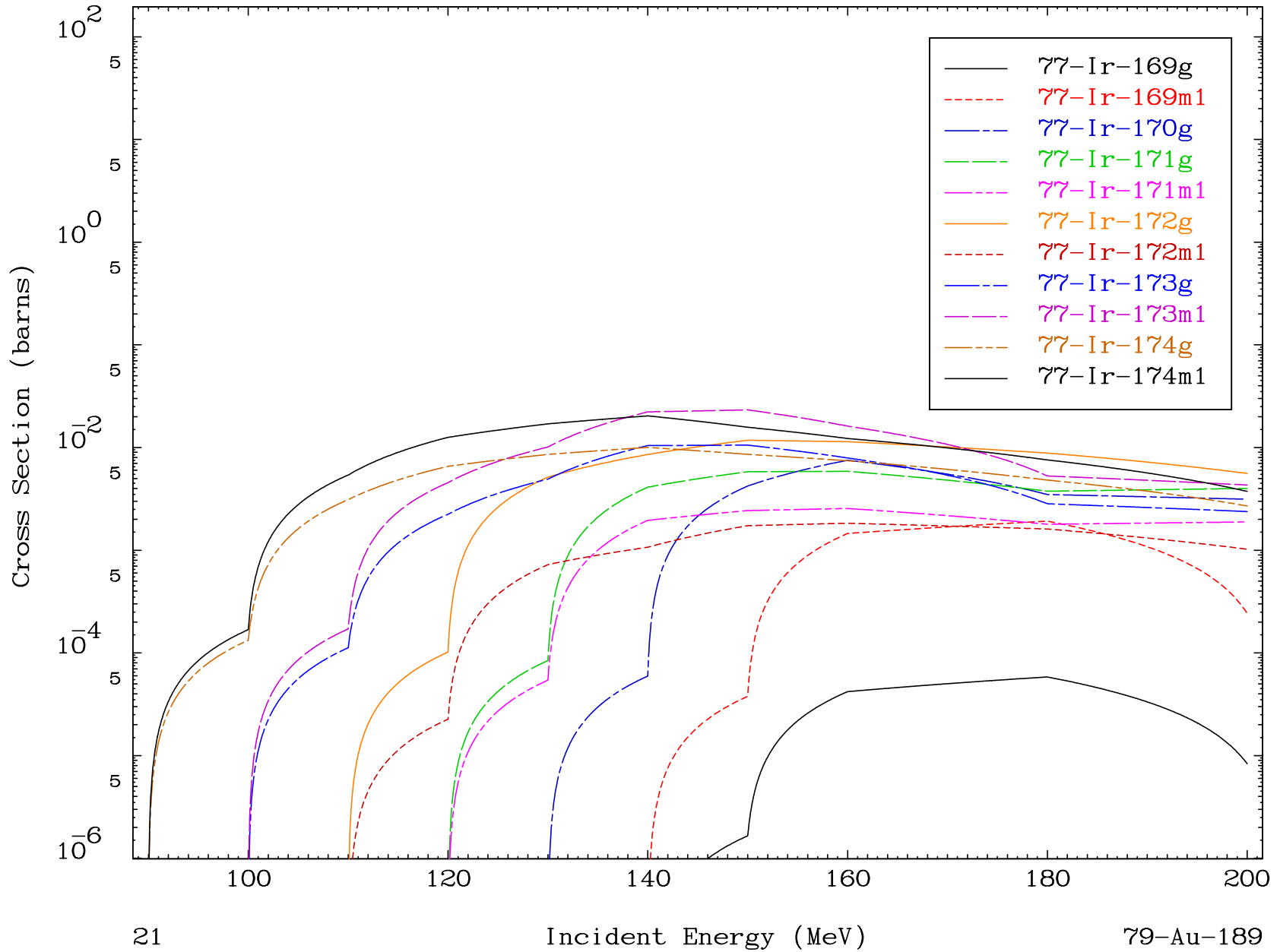


MAT 7902

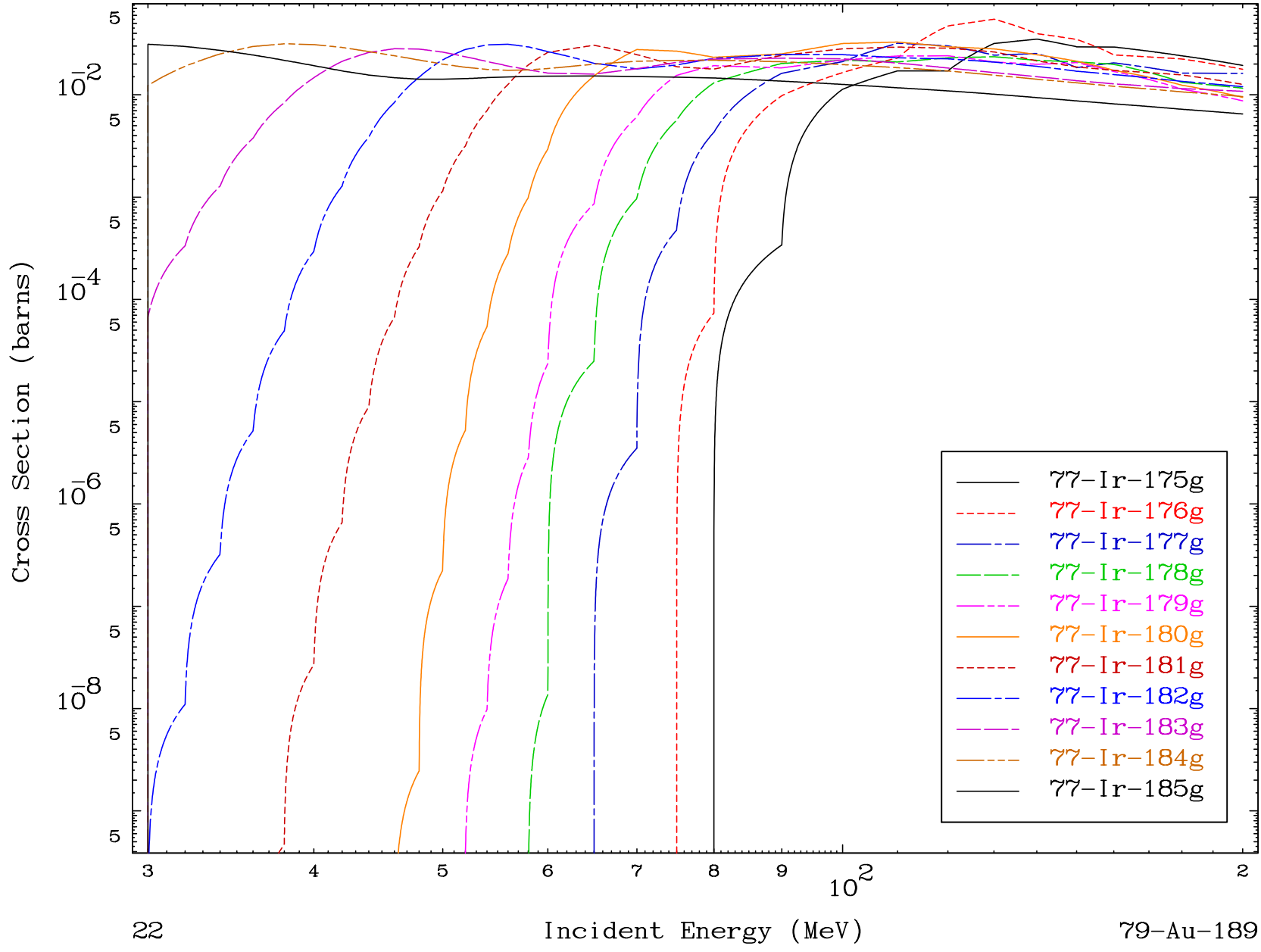
(n,remainder)

79-Au-189

### Radionuclide Production Cross Section



Radionuclide Production Cross Section

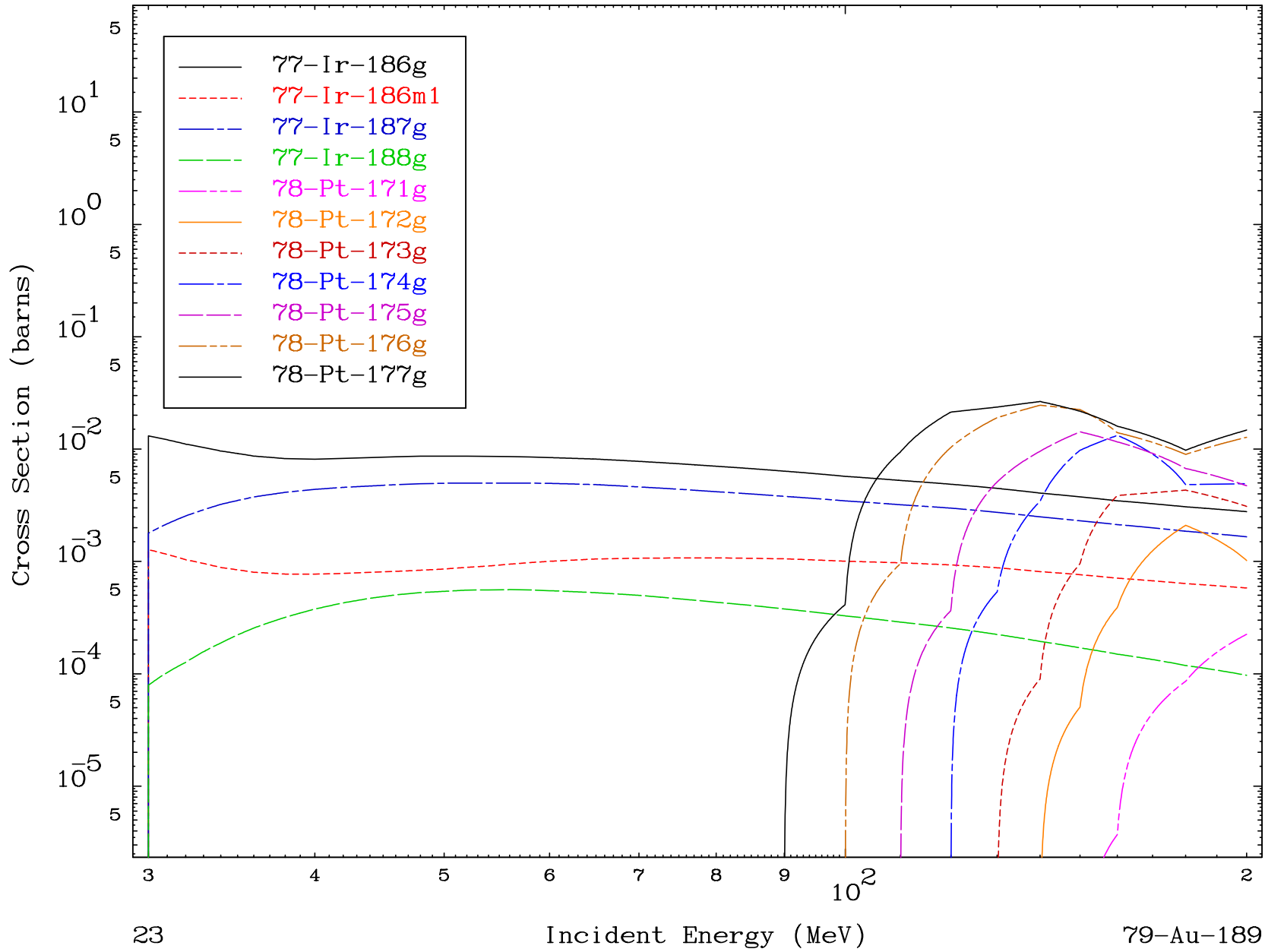


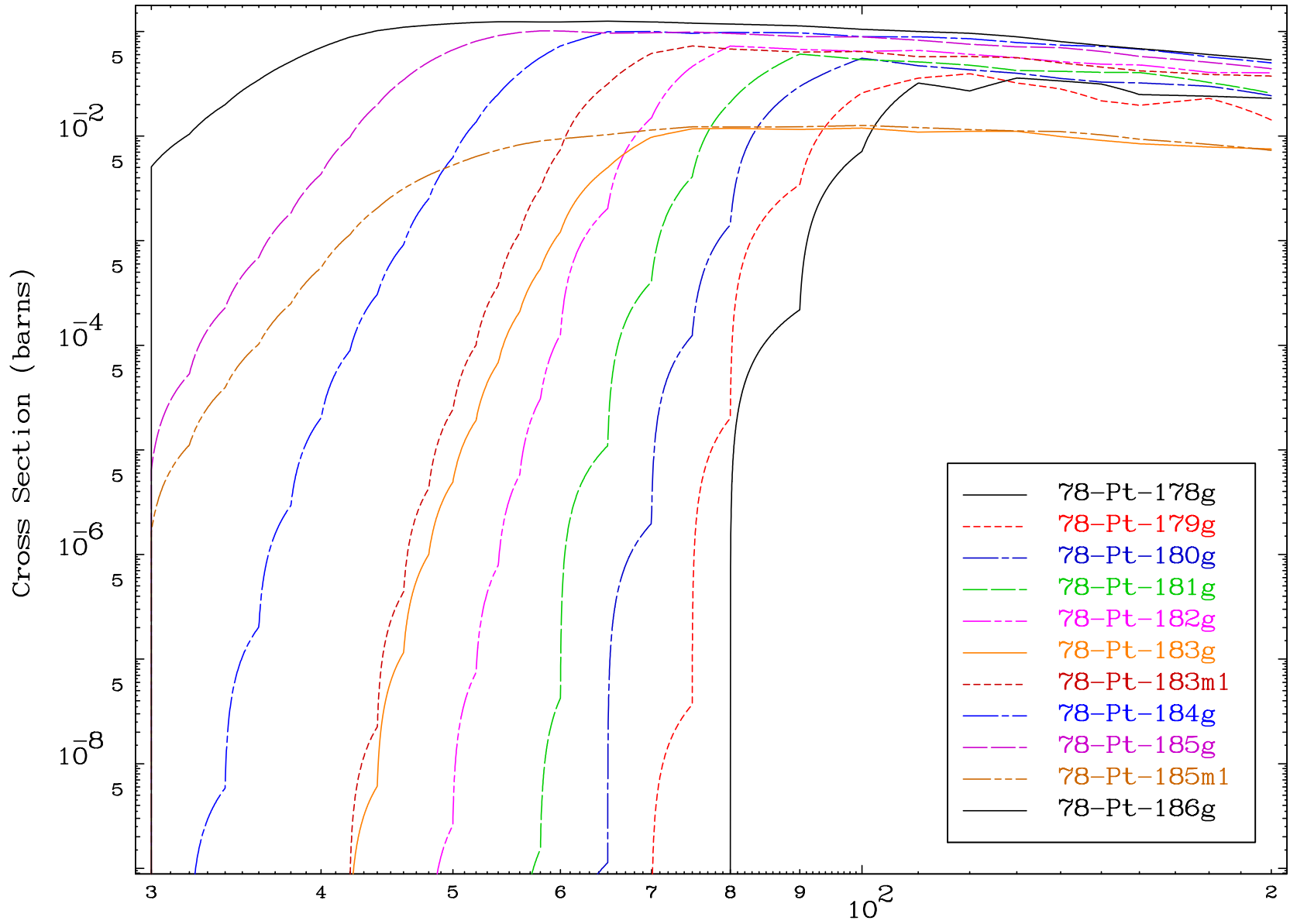
MAT 7902

(n,remainder)

79-Au-189

Radionuclide Production Cross Section





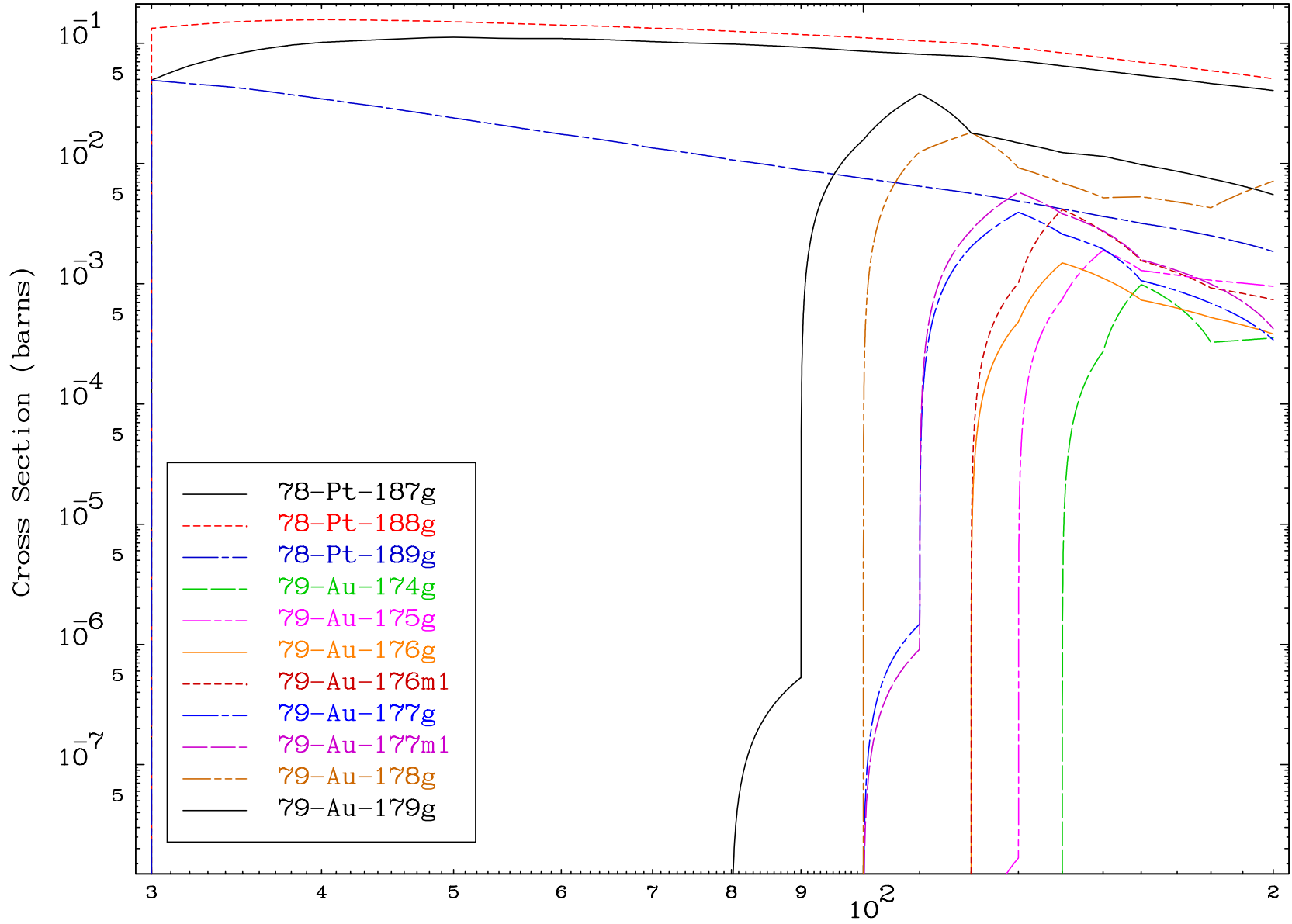


MAT 7902

(n,remainder)

79-Au-189

### Radionuclide Production Cross Section



25

Incident Energy (MeV)

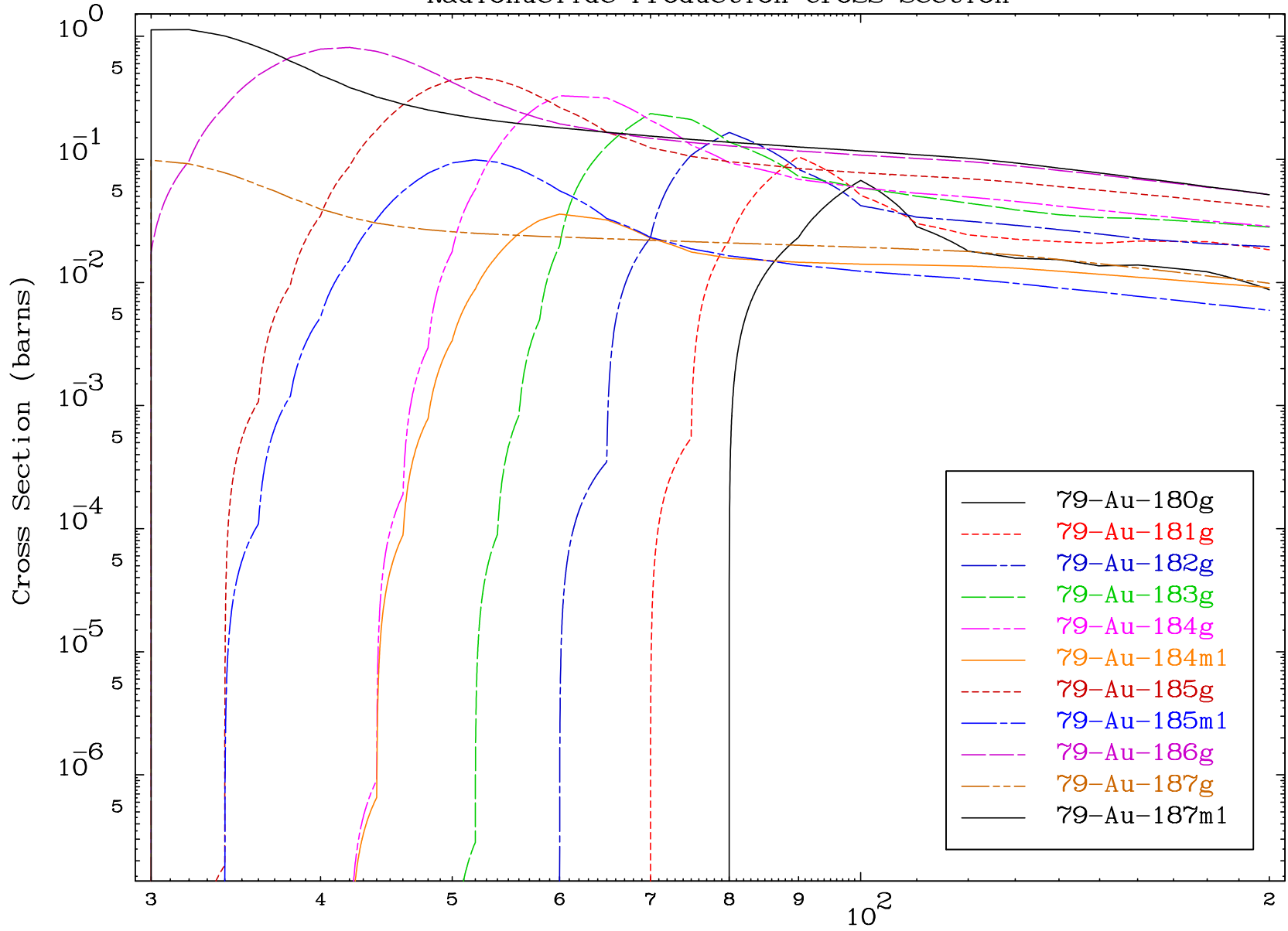
79-Au-189

MAT 7902

(n,remainder)

79-Au-189

### Radionuclide Production Cross Section



26

Incident Energy (MeV)

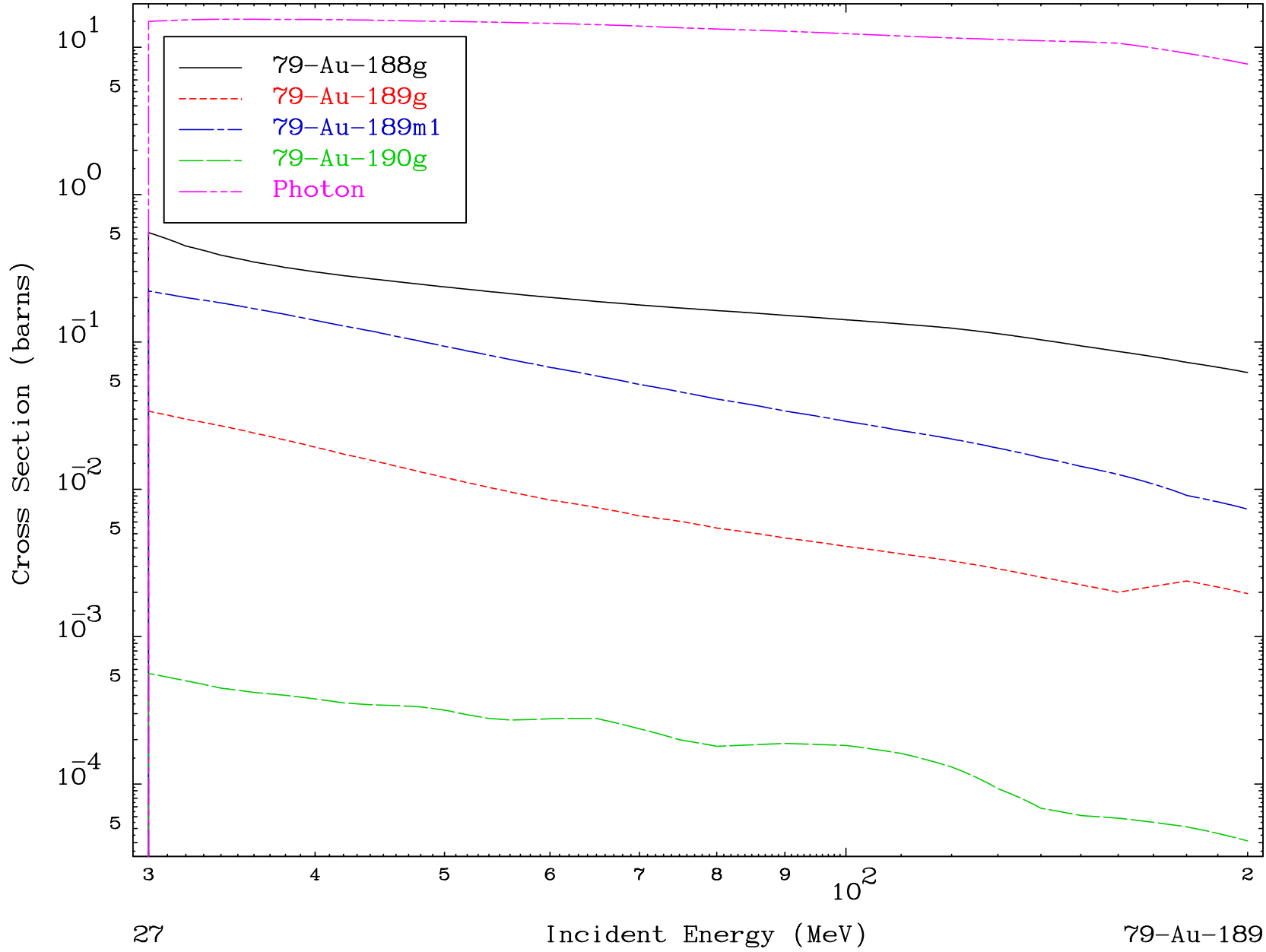
79-Au-189

MAT 7902

(n,remainder)

79-Au-189

Radionuclide Production Cross Section

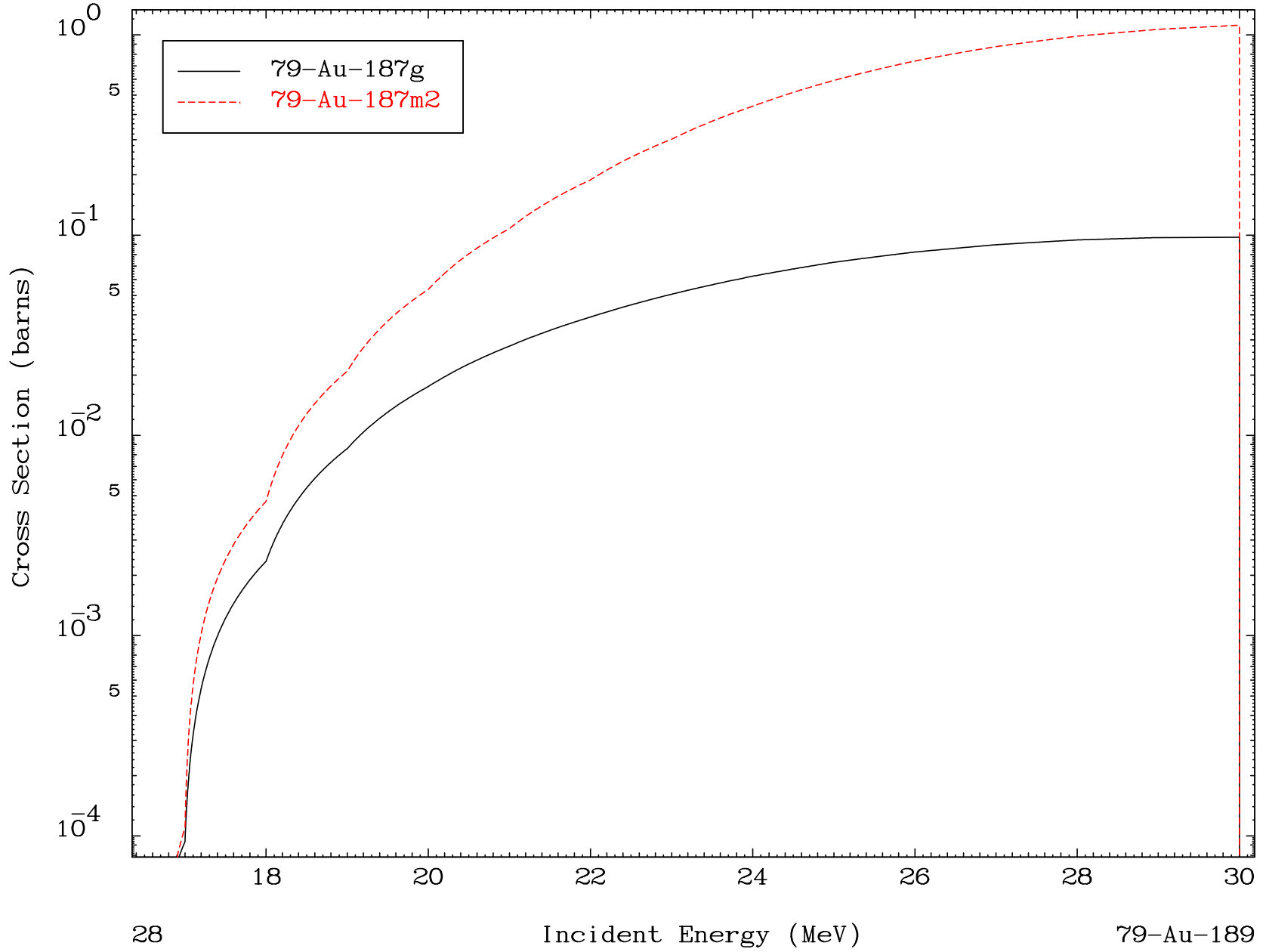


MAT 7902

(n,3n)

79-Au-189

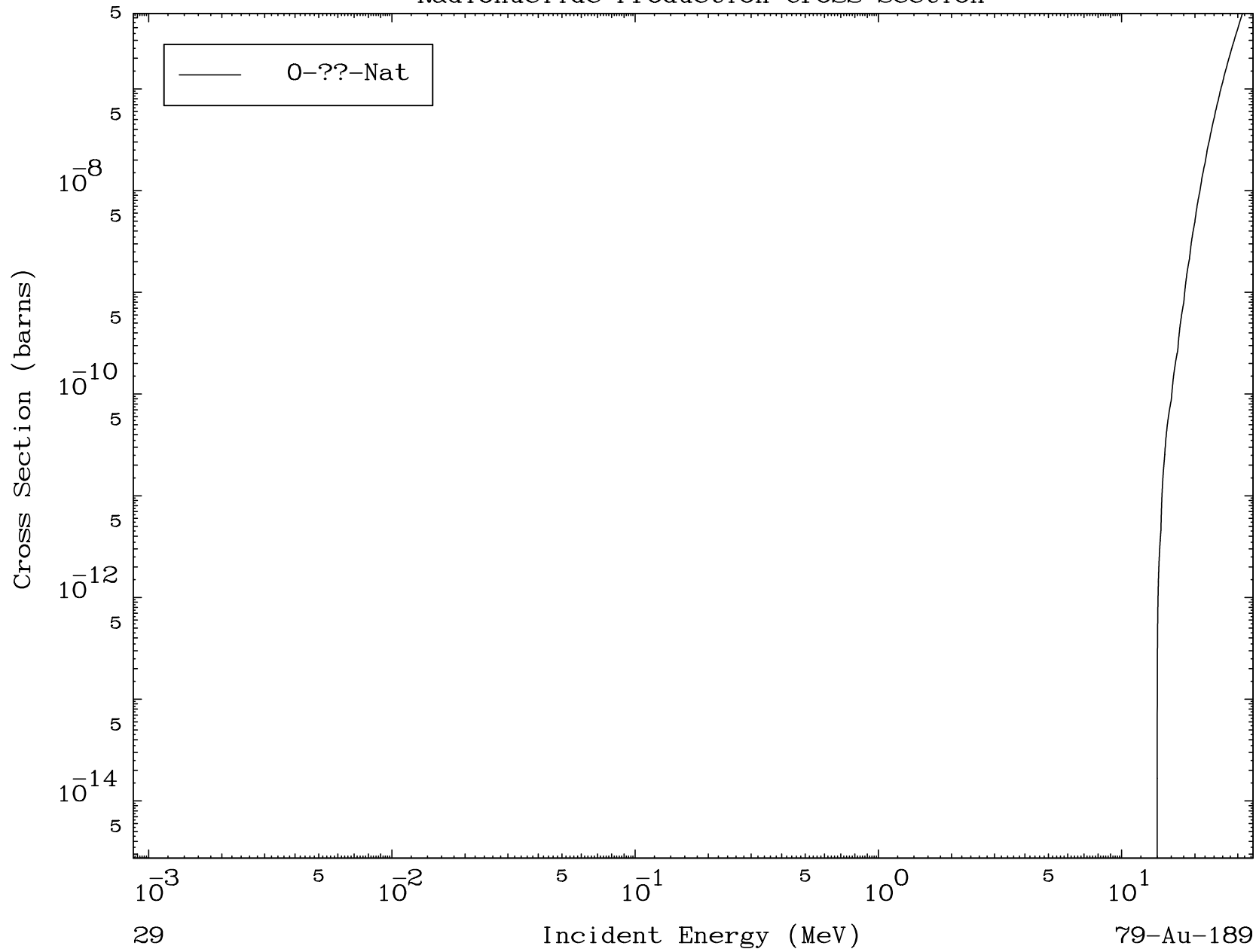
Radionuclide Production Cross Section



MAT 7902

Fission  
Radionuclide Production Cross Section

79-Au-189

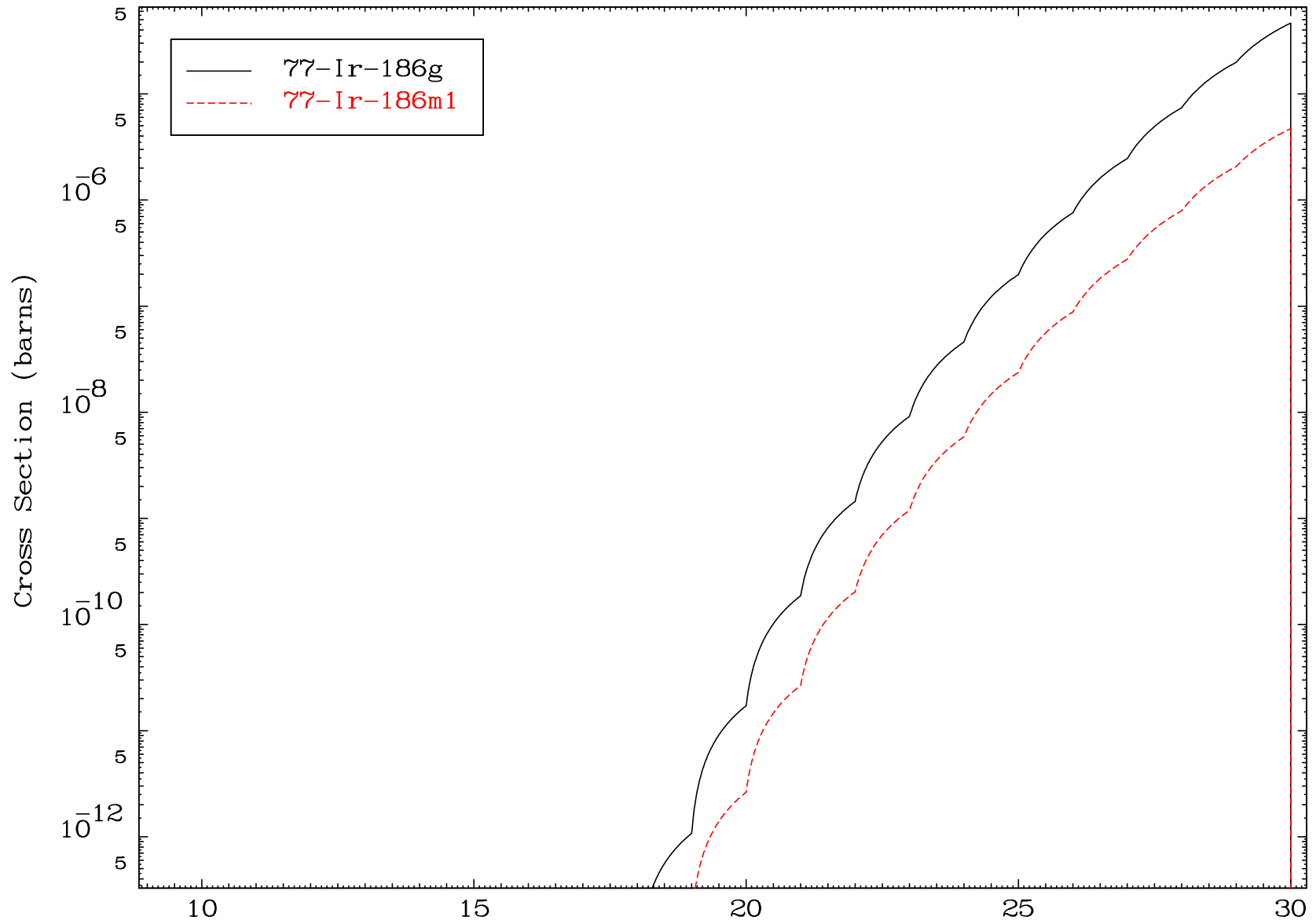


MAT 7902

(n,n') He-3

79-Au-189

Radionuclide Production Cross Section



30

Incident Energy (MeV)

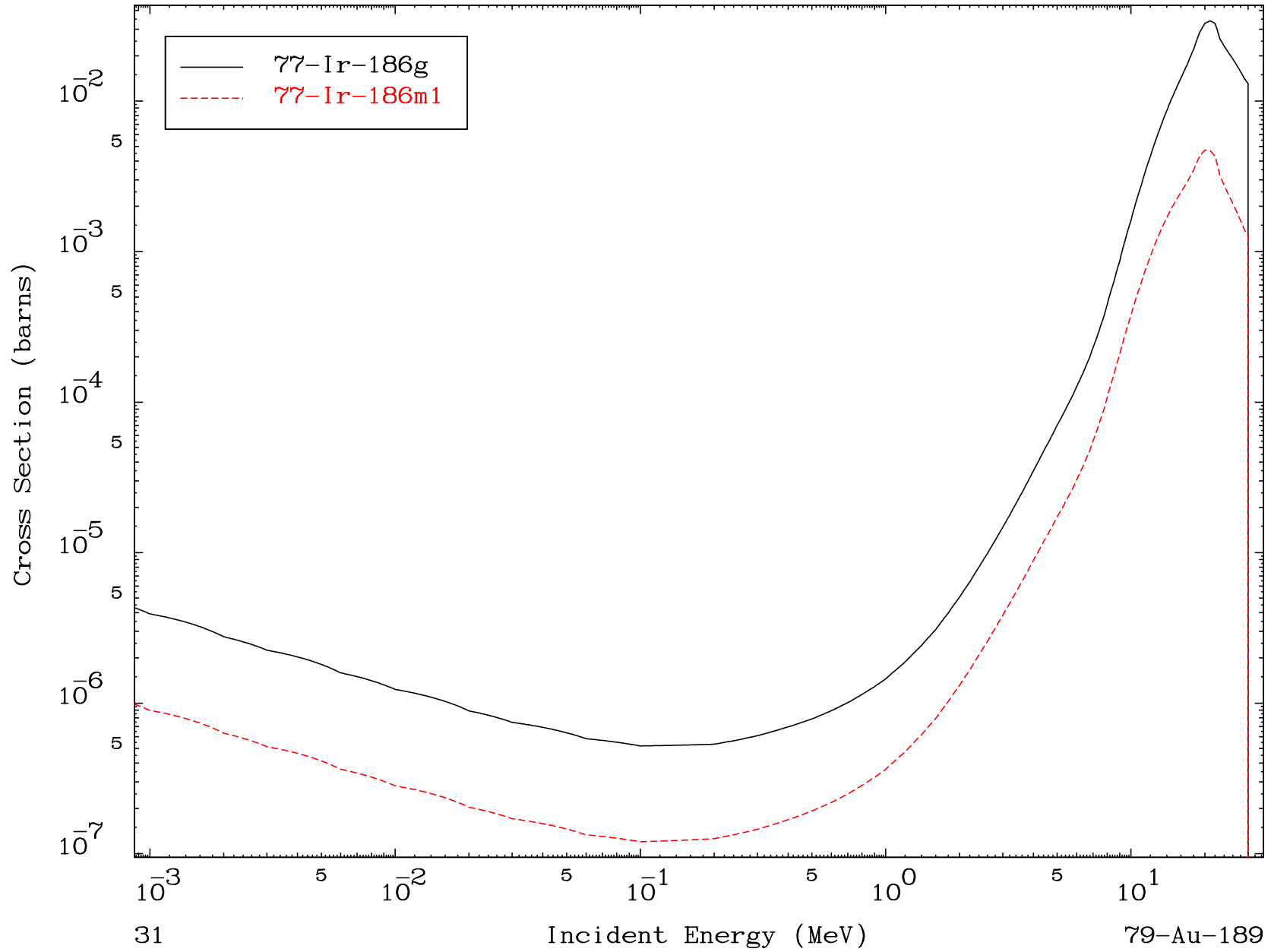
79-Au-189

MAT 7902

(n,  $\alpha$ )

79-Au-189

Radionuclide Production Cross Section

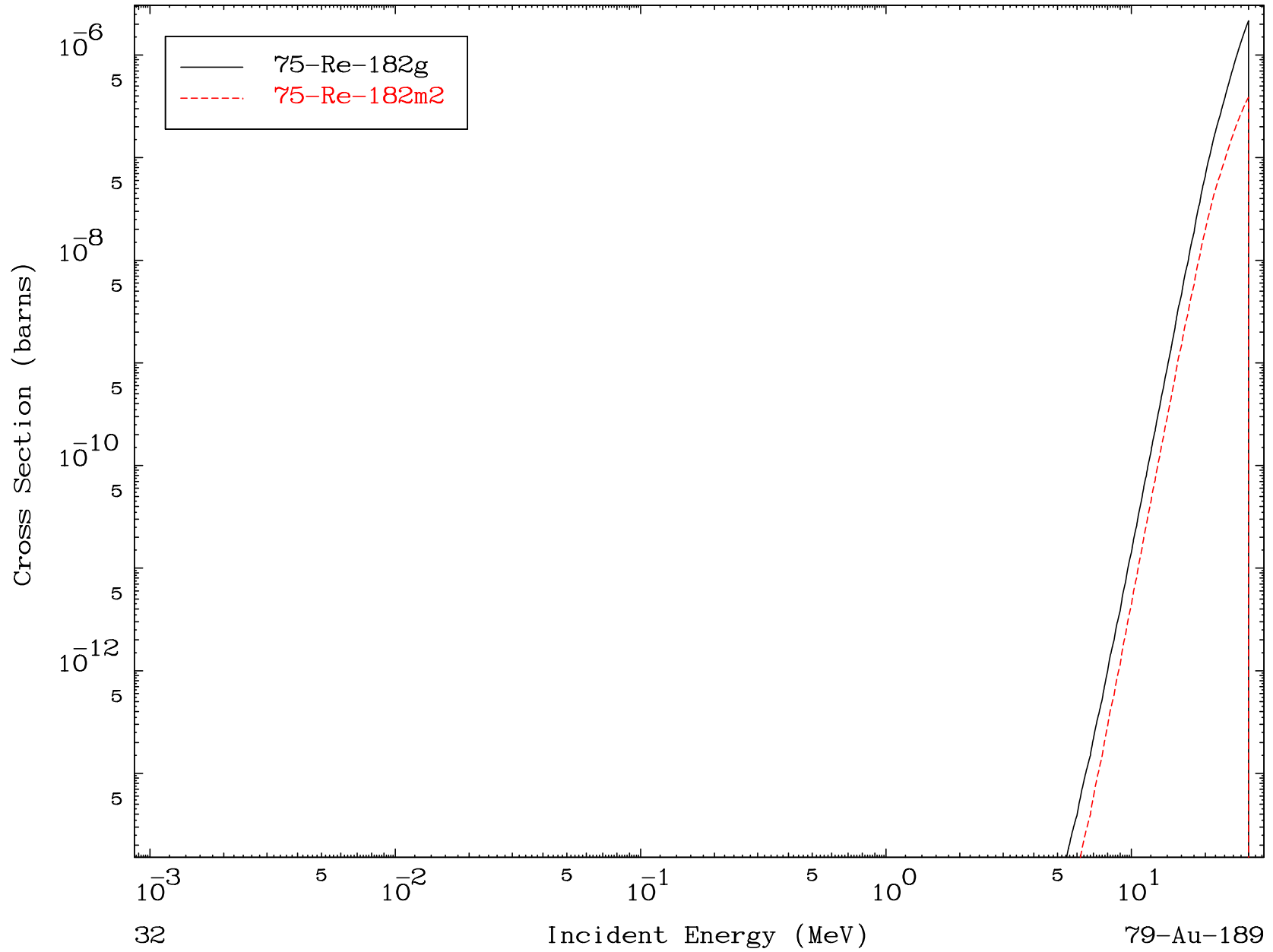


MAT 7902

(n,2 $\alpha$ )

79-Au-189

Radionuclide Production Cross Section





MAT 7902

(n,p) t

79-Au-189

Radionuclide Production Cross Section

